

## V. Homomorphic Signal Processing

同質

### ◎ 5-A Homomorphism

Homomorphism is a way of “carrying over” operations from one algebra system into another.

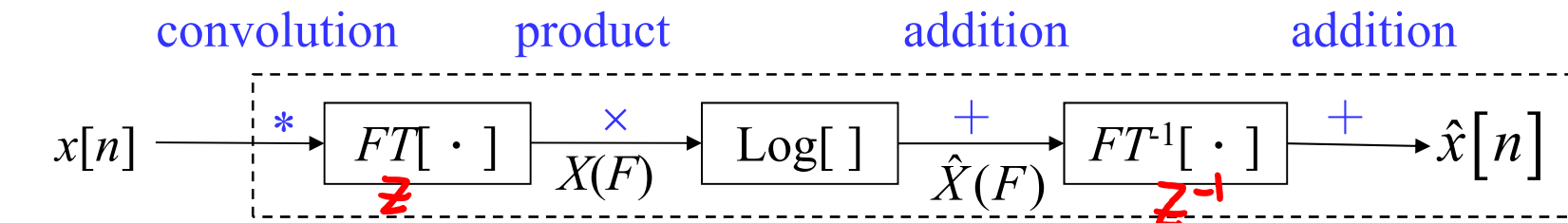
Ex. convolution  $\xrightarrow{\text{Fourier}}$  multiplication  $\xrightarrow{\log}$  addition

把複雜的運算，變成效能相同但較簡單的運算

## ◎ 5-B Cepstrum 倒頻譜

$$\hat{X}(Z) \Big|_{z=e^{i2\pi F}} = \log X(Z) \Big|_{z=e^{i2\pi F}} = \log |X(Z)| \Big|_{z=e^{i2\pi F}} + j \arg[X(e^{i2\pi F})]$$

For the process of cepstrum (denoted by  $D_*(\cdot)$ )



$$\hat{X}(F) = \log(X(F)) \quad \hat{H}(F) = \log(H(F))$$

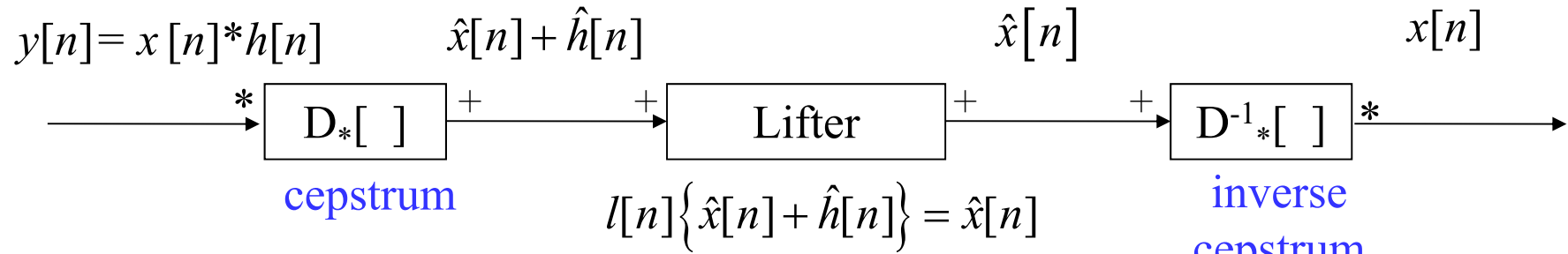
$FT$ : discrete-time Fourier transform

$$\hat{x}[n] = IFT(\log(X(F)))$$

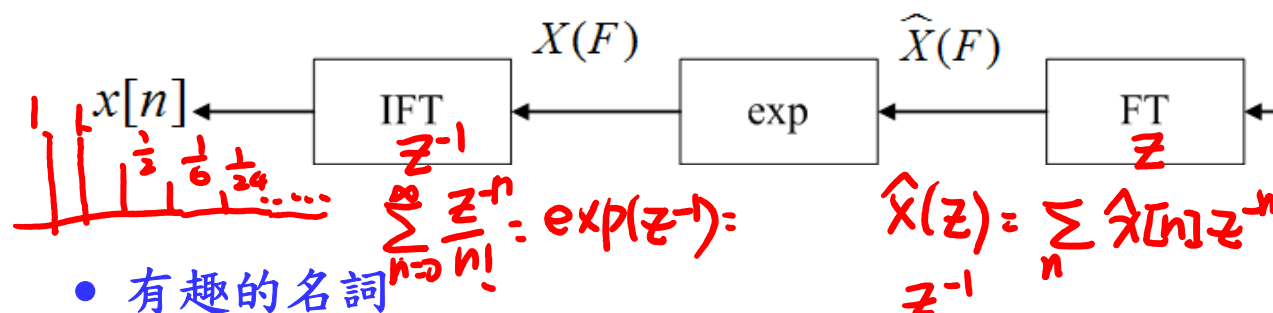
$$\hat{h}[n] = IFT(\log(H(F)))$$

- 由  $y[n] = x[n] * h[n]$  重建  $x[n]$

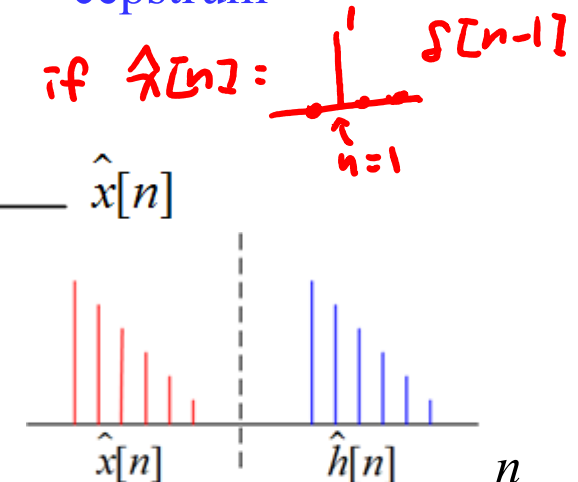
$$e^x = \sum_{n=0}^{\infty} \frac{x^n}{n!}$$



For the process of the inverse cepstrum  $D^{-1}_*[\cdot]$



if  $\widehat{x}[n] = \begin{cases} 1 & n=1 \\ 0 & n \neq 1 \end{cases}$ :  $\widehat{s}[n-1]$



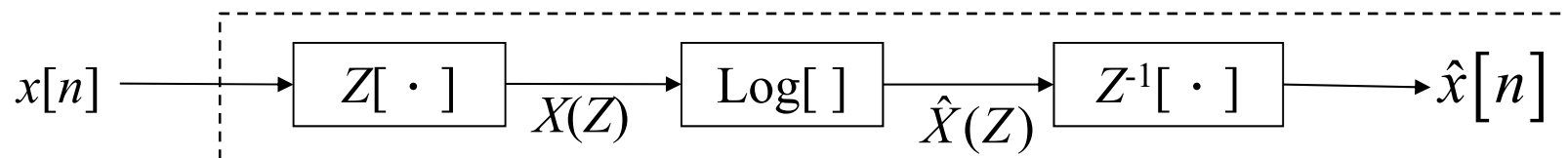
$\widehat{x}[n]$	cepstrum	$\xrightarrow{\text{spectrum}}$ 倒頻譜
$n$	quefrency	$\xrightarrow{\text{frequency}}$ 倒頻率
$l[n]$	lifter	$\xrightarrow{\text{filter}}$ 倒濾波器

lifter

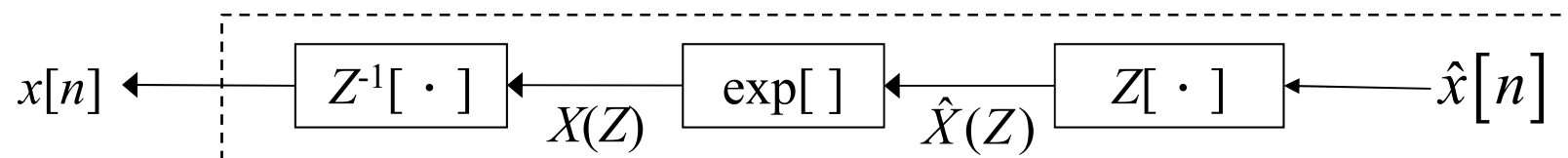
$$l[n] \{ \widehat{x}[n] + \widehat{h}[n] \} = \widehat{x}[n]$$

Using the Z transforms instead of the Fourier transforms:

For the process of [cepstrum](#)



For the process of the [inverse cepstrum](#)



## ◎ 5-C Methods for Computing the Cepstrum

- **Method 1:** Compute the inverse discrete time Fourier transform:

$$\hat{x}[n] = \int_{-1/2}^{1/2} \hat{X}(F) e^{i2\pi n F} dF \quad : \text{inverse F.T}$$

where  $\hat{X}(F) = \log|X(F)| + j \arg[X(F)]$

ex:  $X(F) = \bar{J}$       通解?       $|X(F)| = 1$ ,  $\arg(X(F)) = \frac{\pi}{2}, \frac{-3\pi}{2}, \dots$  ambiguity for phase

$$\hat{X}(F) = \log X(F)$$

$$X(F) = |X(F)| e^{j \arg X(F)}$$

- Problems:
- (1)  $\log|X(F)| \rightarrow -\infty$  if  $|X(F)| \rightarrow 0$
  - (2)  $\arg(X(F))$  has infinite number of solutions.

Actually, the COMPLEX Cepstrum is REAL for real input

• Method 2 (From Poles and Zeros of the Z Transform)

實際上計算  
cepstrum的方法

$$X(Z) = \frac{A \cancel{\prod_{k=1}^{m_i} (1 - a_k Z^{-1})}}{\prod_{k=1}^{P_i} (1 - c_k Z^{-1})} \frac{\prod_{k=1}^{m_0} (1 - b_k Z)}{\prod_{k=1}^{P_0} (1 - d_k Z)}$$

where  $|a_k|, |b_k|, |c_k|, |d_k| \leq 1$

$a_k$ : zeros inside unit circle  
 $c_k$ : poles inside unit circle

$b_k^{-1}$ : zeros outside unit circle  
 $d_k^{-1}$ : poles outside unit circle

Π: 連乘  
 $\Sigma$ : 連加

$$\begin{aligned}\therefore \hat{X}(Z) &= \log X(Z) = \log A + r \cdot \cancel{\log Z} + \sum_{k=1}^{m_i} \log (1 - a_k Z^{-1}) + \sum_{k=1}^{m_0} \log (1 - b_k Z) \\ &\quad - \sum_{k=1}^{P_i} \log (1 - c_k Z^{-1}) - \sum_{k=1}^{P_0} \log (1 - d_k Z)\end{aligned}$$

$$\begin{aligned}ex: \quad &z^2 - 0.7z + 0.1 \\ &= (z - 0.5)(z - 0.2) \\ &= z^2(1 - 0.5z^{-1})(1 - 0.2z^{-1})\end{aligned}$$

$$\therefore \hat{X}(Z) = \log X(Z) = \log A + r \cdot \cancel{\log Z} + \sum_{k=1}^{m_i} \log (1 - a_k Z^{-1}) + \sum_{k=1}^{m_0} \log (1 - b_k Z)$$

$$- \sum_{k=1}^{P_i} \log (1 - c_k Z^{-1}) - \sum_{k=1}^{P_0} \log (1 - d_k Z)$$

↓  
 (inverse Z transform)  
 ?

Taylor series

$$f(t) = f(t_0) + \sum_{n=1}^{\infty} \frac{f^{(n)}(t_0)}{n!} (t - t_0)^n$$

$$\begin{aligned} \log(1 - b_k z) &= \sum_{n=1}^{\infty} \frac{(-1)^{n-1}}{n} (-1)^n b_k^n z^n \\ &= \sum_{n=1}^{\infty} -\frac{1}{n} b_k^n z^n \quad n \rightarrow -n \\ &= \sum_{n=-\infty}^{-1} \frac{1}{n} b_k^{-n} z^{-n} \end{aligned}$$

$$\frac{d^n}{dt^n} \log(1+t) = \frac{(-1)^{n-1} (n-1)!}{c(1+t)^n}$$

$$\log(1+t) = \sum_{n=1}^{\infty} \frac{(-1)^{n-1} (n-1)!}{n!} t^n \quad (t_0=0)$$

$$\log(1+t) = \sum_{n=1}^{\infty} \frac{(-1)^{n-1}}{n} t^n$$

$$\begin{aligned} \log(1 - a_k z^{-1}) &= \sum_{n=1}^{\infty} \frac{(-1)^{n-1}}{n} (-1)^n a_k^n z^{-n} \\ &= \sum_{n=1}^{\infty} \frac{-1}{n} a_k^n z^{-n} \end{aligned}$$

Taylor series expansion

$Z^{-1}$

(Suppose that  $r = 0$ )

$$\hat{x}[n] = \begin{cases} \log(A) & , n = 0 \\ -\sum_{k=1}^{m_i} \frac{a_k^{-n}}{n} + \sum_{k=1}^{P_i} \frac{c_k^{-n}}{n} & , n > 0 \\ \sum_{k=1}^{m_0} \frac{b_k^{-n}}{n} - \sum_{k=1}^{P_0} \frac{d_k^{-n}}{n} & , n < 0 \end{cases}$$

Poles & zeros inside unit circle, right-sided sequence

Poles & zeros outside unit circle, left-sided sequence

Note:

- (1)  $\hat{x}[n]$  always decays with  $|n|$ .
- (2) 在 complex cepstrum domain  
Minimum phase 及 maximum phase 之貢獻以  $n = 0$  為分界切開
- (3) For FIR case, there is no  $c_k$  and  $d_k$
- (4) The complex cepstrum is unique and of infinite duration for both positive & negative  $n$ , even though  $x[n]$  is causal & of finite durations

$\hat{x}[n]$  is always IIR

● Method 3

$$Z \cdot \hat{X}'(Z) = Z \cdot \frac{X'(Z)}{X(Z)}$$

$$\therefore ZX'(Z) = Z\hat{X}'(Z) \cdot X(Z)$$

$$\downarrow Z^{-1}$$

$$n x[n] = \sum_{k=-\infty}^{\infty} k \hat{x}[k] x[n-k]$$

$$\therefore x[n] = \sum_{k=-\infty}^{\infty} \frac{k}{n} \hat{x}[k] x[n-k] \quad \text{for } n \neq 0$$

Suppose that  $x[n]$  is causal and has minimum phase, i.e.  $x[n] = \hat{x}[n] = 0, n < 0$

$$x[n] = \sum_{k=-\infty}^{\infty} \frac{k}{n} \hat{x}[k] x[n-k] \quad \text{for } n \neq 0$$

$$\Rightarrow x[n] = \sum_{k=0}^n \frac{k}{n} \hat{x}[k] x[n-k] \quad \text{for } n > 0 \quad (\text{causal sequence})$$

$$x[n] = \hat{x}[n] x[0] + \sum_{k=0}^{n-1} \frac{k}{n} \hat{x}[k] x[n-k]$$

For a minimum phase sequence  $x[n]$

$$\hat{x}[n] = \begin{cases} 0 & , n < 0 \\ \frac{x[n]}{x[0]} - \sum_{k=0}^{n-1} \left( \frac{k}{n} \right) \hat{x}[k] \frac{x[n-k]}{x[0]} & , n > 0 \\ \log A & , n = 0 \end{cases} \quad \text{recursive method}$$

Determining  $\hat{x}[n]$  from  $\hat{x}[0], \hat{x}[1], \dots, \hat{x}[n-1]$

For anti-causal and maximum phase sequence,  $x[n] = \hat{x}[n] = 0, n > 0$

$$\begin{aligned} x[n] &= \sum_{k=n}^0 \frac{k}{n} \hat{x}[k] x[n-k] \quad , n < 0 \\ &= \hat{x}[n] x[0] + \sum_{k=n+1}^0 \frac{k}{n} \hat{x}[k] x[n-k] \end{aligned}$$

For maximum phase sequence,

$$\hat{x}[n] = \begin{cases} 0 & , n > 0 \\ \log A & , n = 0 \\ \frac{x[n]}{x[0]} - \sum_{k=n+1}^0 \left(\frac{k}{n}\right) \hat{x}[k] \frac{x[n-k]}{x[0]} & , n < 0 \end{cases}$$

## ◎ 5-D Properties

**P.1 )** The complex cepstrum decays at least as fast as  $\frac{1}{n}$

$$|\hat{x}[n]| < c \left| \frac{\alpha^n}{n} \right| \quad -\infty < n < \infty$$

$$\alpha = \max(|a_k|, |b_k|, |c_k|, |d_k|)$$

**P.2 )** If  $X(Z)$  has no poles and zeros outside the unit circle, i.e.  $x[n]$  is minimum phase, then

$$\hat{x}[n] = 0 \quad \text{for all } n < 0$$

because of no  $b_k, d_k$

**P.3 )** If  $X(Z)$  has no poles and zeros inside the unit circle, i.e.  $x[n]$  is maximum phase, then

$$\hat{x}[n] = 0 \quad \text{for all } n > 0$$

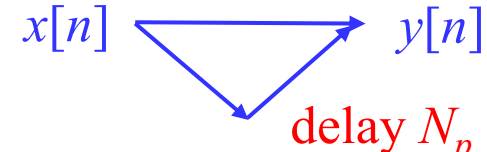
because of no  $a_k, c_k$

P.4 ) If  $x[n]$  is of finite duration, then  
 $\hat{x}[n]$  has infinite duration

## ◎ 5-E Application of Homomorphic Deconvolution

(1) Equalization for Echo

$$y[n] = x[n] + \alpha x[n - N_p]$$



Let  $p[n]$  be  $p[n] = \delta[n] + \alpha\delta[n-N_p]$

$$y[n] = x[n] + \alpha x[n - N_p] = x[n] * p[n]$$

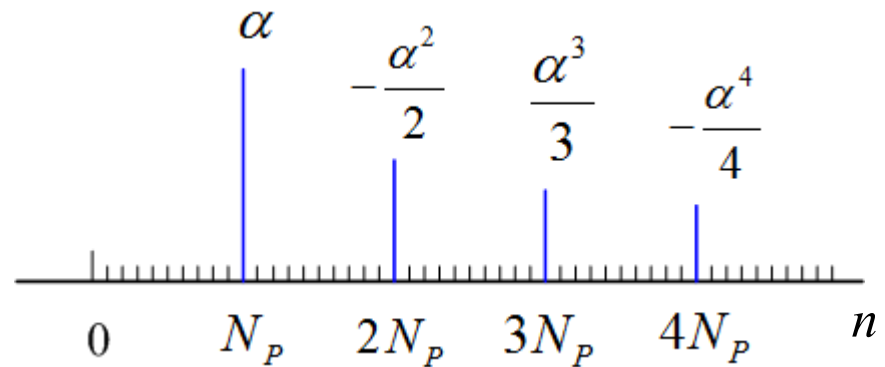
$$\log(1+t) = \sum_{k=1}^{\infty} \frac{(-1)^{k+1}}{k} t^k$$

$$P(Z) = 1 + \alpha Z^{-N_p}$$

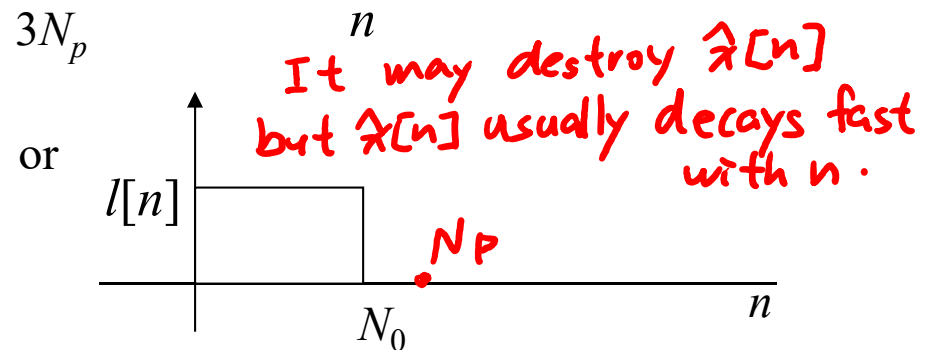
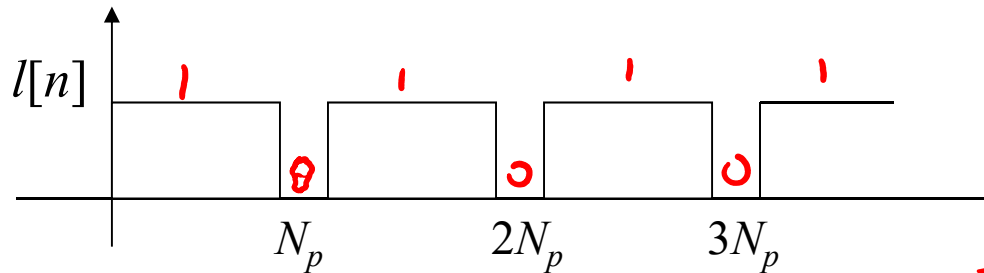
$$\hat{P}(Z) = \log(1 + \alpha Z^{-N_p}) = \sum_{k=1}^{\infty} (-1)^{k+1} \frac{\alpha^k}{k} Z^{-kN_p}$$

$$\downarrow Z^{-1}$$

$$\hat{p}[n] = \sum_{k=1}^{\infty} (-1)^{k+1} \frac{\alpha^k}{k} \delta(n - k \cdot N_p)$$



Filtering out the echo by the following “lifter”:



Q: For the case where  $N_p$  is unknown

(2) Representation of acoustic engineering

$$N_p > N_0$$

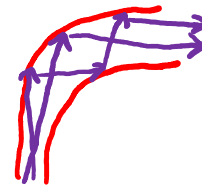
$$y[n] = x[n] * h[n]$$

Synthesiz music      building effect : e.g. 羅馬大教堂的  
ed music                  impulse response

## (3) Speech analysis

$$s[n] = g[n] * v[n] * p[n]$$

Speech    Global    Vocal tract  
wave    wave    impulse    Pitch  
shape



They can be separated by filtering in the complex cepstrum domain

## (4) Seismic Signals

地震波

## (5) Multiple-path analysis for any wave-propagation problem

## 用 cepstrum 將 multipath 的影響去除

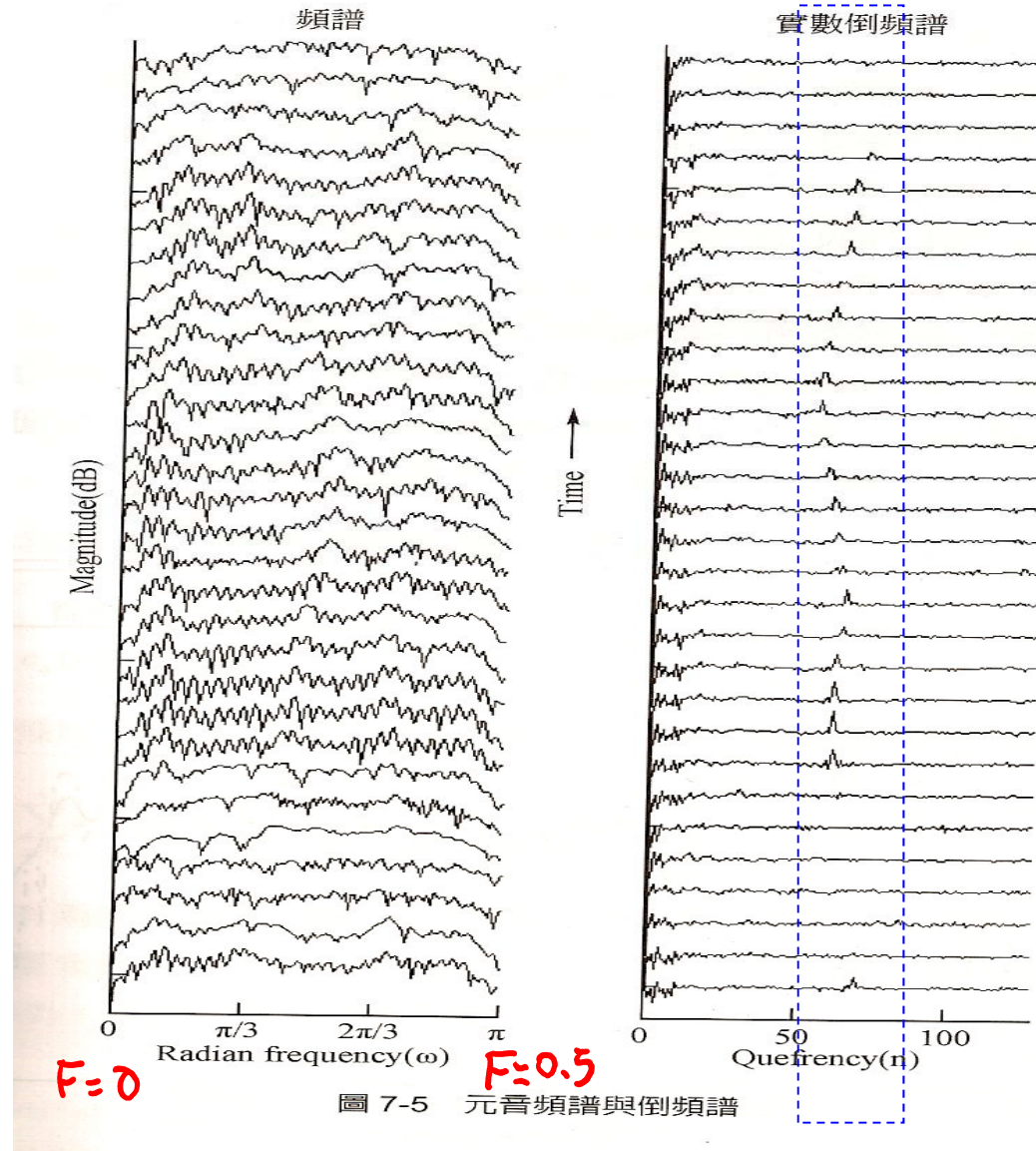


圖 7-5 元音頻譜與倒頻譜

From 王小川，“語音訊號處理”，全華出版，台北，民國94年。

From 王小川，“語音訊號處理”，全華出版，台北，民國94年。

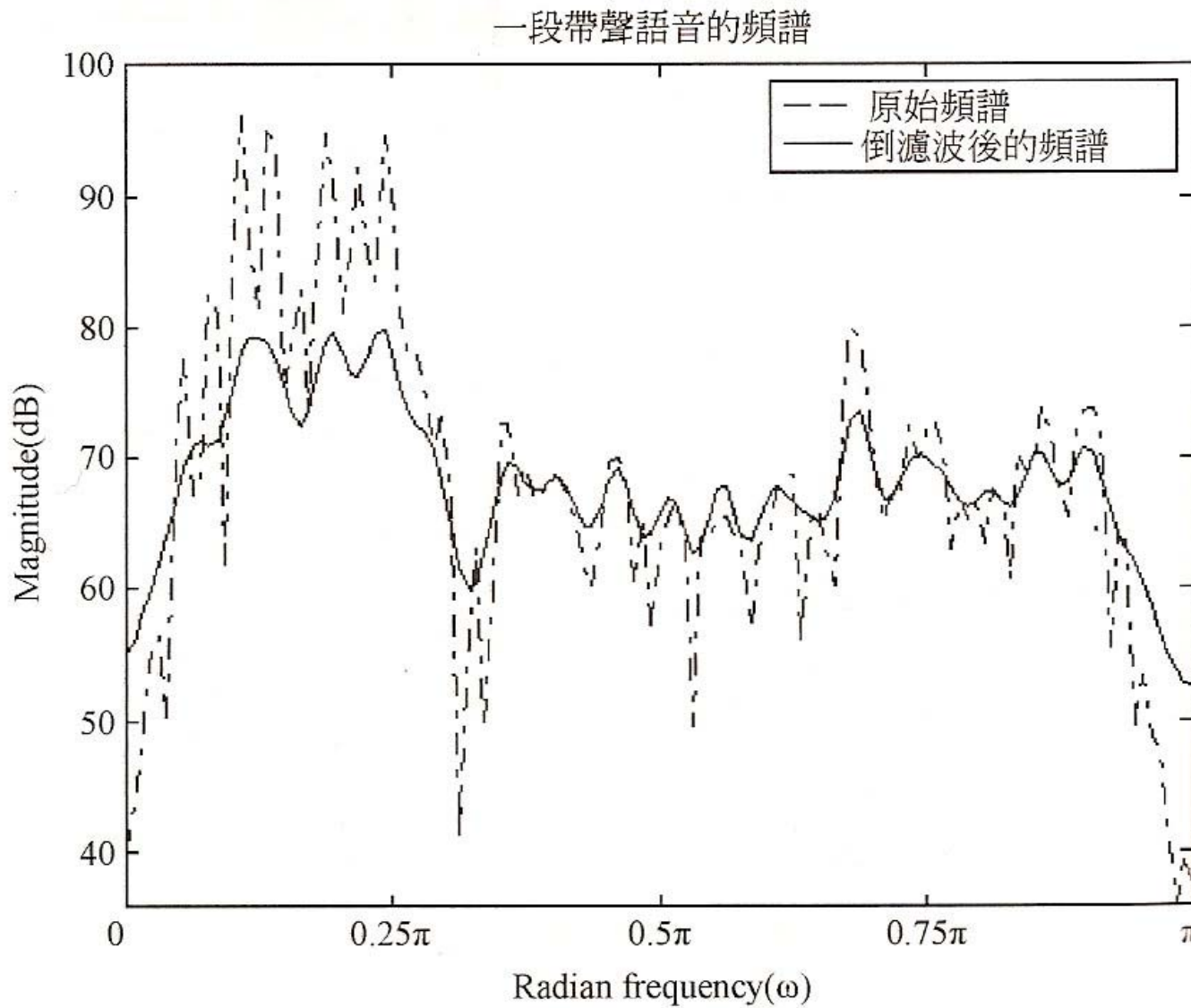


圖 7-6 經過倒濾波器作平滑處理的頻譜

## ◎ 5-F Problems of Cepstrum

- (1)  $|\log(X(Z))|$
- (2) Phase
- (3) Delay  $Z^{-k}$
- (4) Only suitable for the multiple-path-like problem

## ◎ 5-G Differential Cepstrum

$$\hat{x}_d(n) = Z^{-1} \left[ \frac{X'(Z)}{X(Z)} \right] \quad \text{或} \quad \hat{x}_d[n] = \int_{-1/2}^{1/2} \frac{X'(F)}{X(F)} e^{j2\pi F} dF$$

↑  
inverse Z transform

$$\text{Note: } \frac{d}{dZ} \hat{X}(Z) = \frac{d}{dZ} \log(X(Z)) = \frac{X'(Z)}{X(Z)}$$

$$\text{If } x(n) = x_1(n) * x_2(n)$$

$$X(Z) = X_1(Z) \cdot X_2(Z)$$

$$X'(Z) = X_1'(Z) \cdot X_2(Z) + X_1(Z) \cdot X_2'(Z)$$

$$\frac{X'(Z)}{X(Z)} = \frac{X_1'(Z)}{X_1(Z)} + \frac{X_2'(Z)}{X_2(Z)}$$

*x<sub>1</sub>[n] and Ax<sub>1</sub>[n]  
has the same differential  
cepstrum*

$$\therefore \hat{x}_d(n) = \hat{x}_{1d}(n) + \hat{x}_{2d}(n)$$

**Advantages:** no phase ambiguity

able to deal with the delay problem

- Properties of Differential Cepstrum

(1) The differential Cepstrum is shift & scaling invariant

不只適用於 multi-path-like problem

也適用於 pattern recognition

If  $y[n] = A X[n - r]$

$$\Rightarrow \hat{y}_d(n) = \begin{cases} \hat{x}_d(n) & , n \neq 1 \\ -r + \hat{x}_d(1) & , n = 1 \end{cases}$$

(Proof):  $Y(z) = Az^{-r} X(z)$

$$Y'(z) = Az^{-r} X'(z) - rA z^{-r-1} X(z)$$

$$\frac{Y'(z)}{Y(z)} = \frac{X'(z)}{X(z)} - rz^{-1}$$

$$\hat{y}_d(n) = \hat{x}_d(n) - r\delta(n-1)$$

(2) The complex cepstrum  $\hat{C}[n]$  is closely related to its differential cepstrum  $\hat{x}_d[n]$  and the signal original sequence  $x[n]$

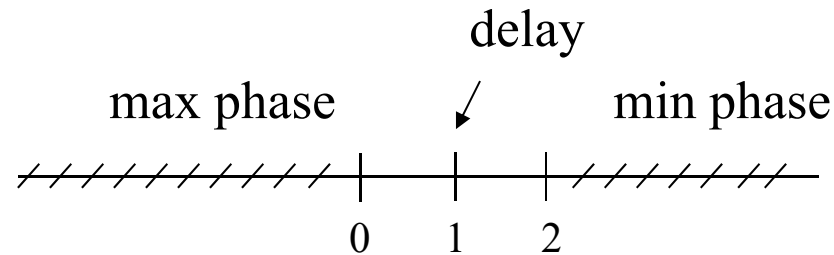
$$\hat{C}(n) = \frac{-\hat{x}_d(n+1)}{n} \quad n \neq 0 \quad \text{diff cepstrum}$$

$$\text{and} \quad -(n-1)x(n-1) = \sum_{k=-\infty}^{\infty} \hat{x}_d(n)x(n-k) \quad \text{recursive formula}$$

Complex cepstrum 做得到的事情, differential cepstrum 也做得到 !

- (3) If  $x[n]$  is minimum phase (no poles & zeros outside the unit circle), then  
 $\hat{x}_d[n] = 0$  for  $n \leq 0$

- (4) If  $x[n]$  is maximum phase (no poles & zeros inside the unit circle), then  
 $\hat{x}_d[n] = 0$  for  $n \geq 2$



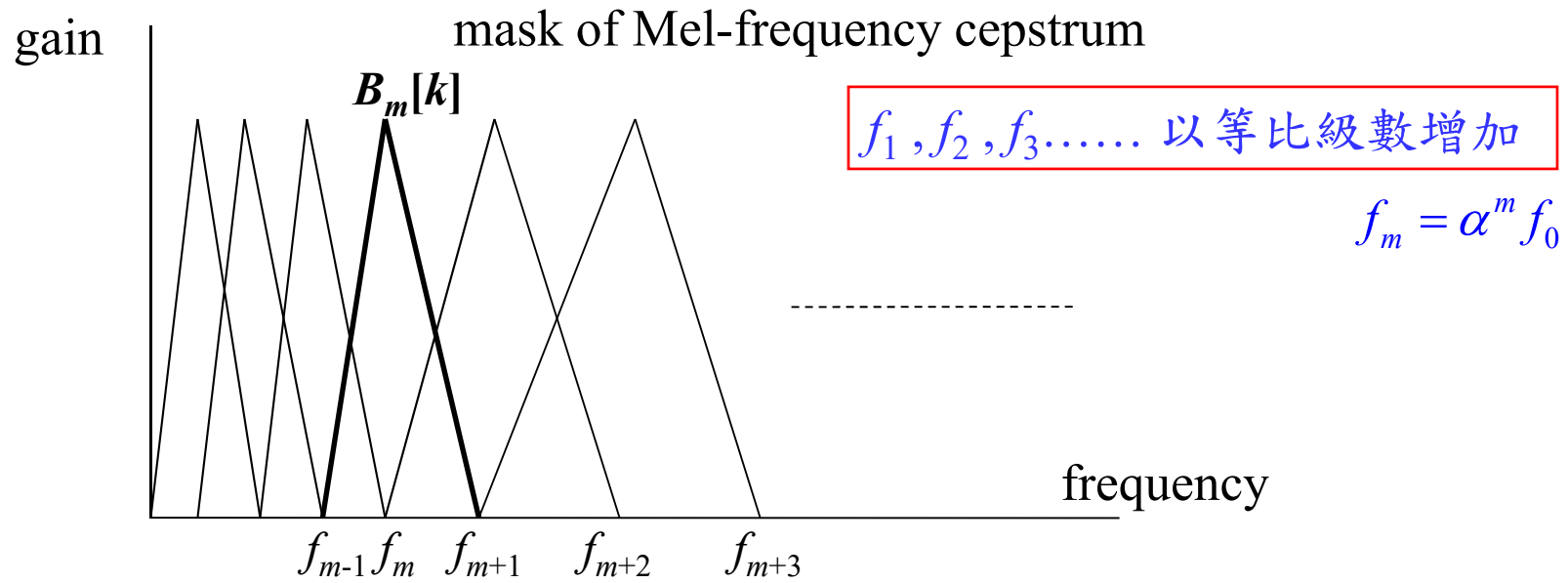
- (5) If  $x(n)$  is of finite duration,  $\hat{x}_d[n]$  has infinite duration

Complex cepstrum decay rate  $\propto \frac{1}{n}$

Differential Cepstrum decay rate 變慢了,  $\therefore \hat{x}_d(n+1) = n \cdot \hat{c}(n) \propto n \cdot \frac{1}{n} = 1$

## ◎ 5-H Mel-Frequency Cepstrum (梅爾頻率倒頻譜)

Take log in the frequency mask



$$B_m[k] = 0 \quad \text{for } f < f_{m-1} \text{ and } f > f_{m+1}$$

$$B_m[k] = (k - f_{m-1}) / (f_m - f_{m-1}) \quad \text{for } f_{m-1} \leq f \leq f_m$$

$$B_m[k] = (f_{m+1} - k) / (f_{m+1} - f_m) \quad \text{for } f_m \leq f \leq f_{m+1}$$

$$f = kf_s/N$$

## Process of the Mel-Frequency Cepstrum

$$(1) \quad x[n] \xrightarrow{FT} X[k]$$

$$(2) \quad Y[m] = \log \left\{ \sum_{k=f_{m-1}}^{f_m+1} |X[k]|^2 B_m[k] \right\}$$

$$(3) \quad c_x[n] = \frac{1}{M} \sum_{m=1}^M Y[m] \cos \left( \frac{\pi n(m-1/2)}{M} \right)$$

summation of the effect  
inside the  $m^{\text{th}}$  mask

Q: What are the difference between the Mel-frequency cepstrum and the original cepstrum?

Advantages :

- (i)  $\sum_{k=f_m}^{f_{m+1}} |X[k]|^2 B_m[k]$  has much smaller probability to be 0
- (ii)  $|X[k]|^2$  is real and positive, which avoids phase ambiguity
- (iii) cutoff frequencies  $f_m = N^m f_0$  match the human hearing system
- (iv) Using the cosine transform instead of the IFT to reduce the complexity

Mel-frequency cepstrum 更接近人耳對語音的區別性

用  $c_x[1], c_x[2], c_x[3], \dots, c_x[13]$  即足以描述語音特徵

## ◎ 5-I References

- R. B. Randall and J. Hee, “Cepstrum analysis,” *Wireless World*, vol. 88, pp. 77-80. Feb. 1982
- 王小川 , “語音訊號處理” , 全華出版 , 台北 , 民國94年。
- A. V. Oppenheim and R. W. Schafer, *Discrete-Time Signal Processing*, London: Prentice-Hall, 3<sup>rd</sup> ed., 2010.
- S. C. Pei and S. T. Lu, “Design of minimum phase and FIR digital filters by differential cepstrum,” *IEEE Trans. Circuits Syst. I*, vol. 33, no. 5, pp. 570-576, May 1986.
- S. Imai, “Cepstrum analysis synthesis on the Mel-frequency scale,” *ICASSP*, vol. 8, pp. 93-96, Apr. 1983.

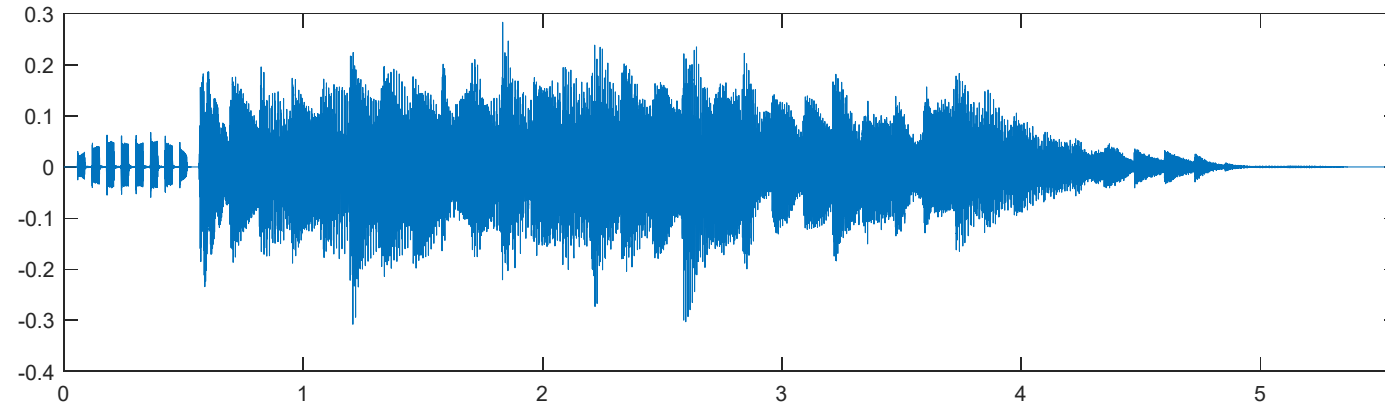
## 附錄六：聲音檔和影像檔的處理 (by Matlab)

### A. 讀取聲音檔

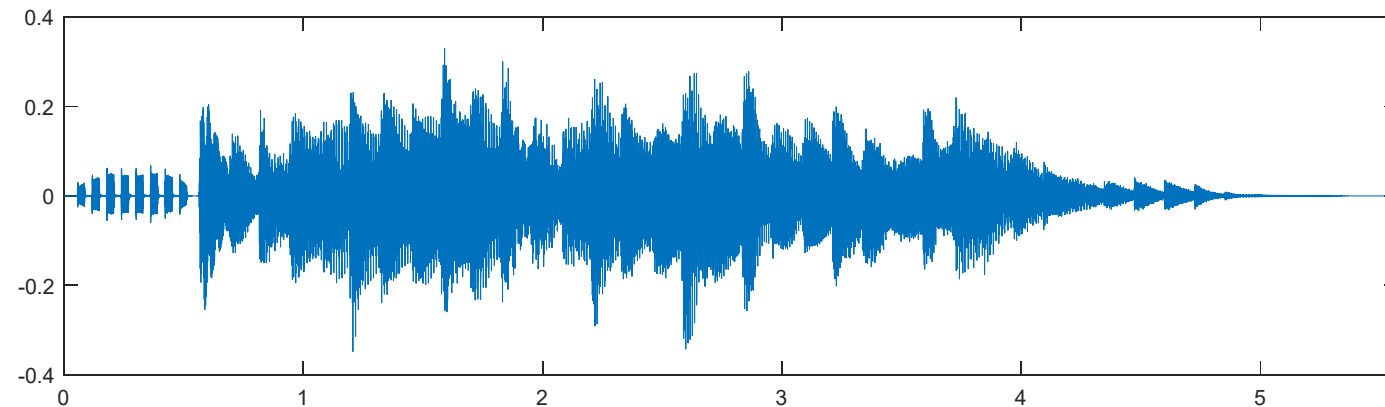
- 電腦中，沒有經過壓縮的聲音檔都是 \*.wav 的型態  
有經過壓縮的聲音檔是 \*.mp3 的型態
- 讀取：`audioread`  
註：2015 版本以後的 Matlab，`wavread` 將改為 `audioread`
- 例：`[x, fs] = audioread('C:\WINDOWS\Media\Alarm01.wav');`  
可以將 Alarm01.wav 以數字向量  $x$  來呈現。  
 $fs$ : sampling frequency  
這個例子當中  $\text{size}(x) = 122868 \quad 2$        $fs = 22050$        $standard:$   
 $f_s = 44100 \text{ Hz}$
- 思考：所以，取樣間隔多大？
- 這個聲音檔有多少秒？      雙聲道 (Stereo)，俗稱立體聲

## 畫出聲音的波型

```
time = [0:size(x,1)-1]/fs; % x 是前頁用 audioread 所讀出的向量
subplot(2,1,1); plot(time, x(:,1)); xlim([time(1),time(end)])
```



```
subplot(2,1,2); plot(time, x(:,2)); xlim([time(1),time(end)])
```



注意：\*.wav 檔中所讀取的資料，值都在 -1 和 +1 之間

**B. 繪出頻譜 (詳細方法請參考附錄二)**

**X = fft(x(:,1)); % 只做這一步無法得出正確的頻譜**

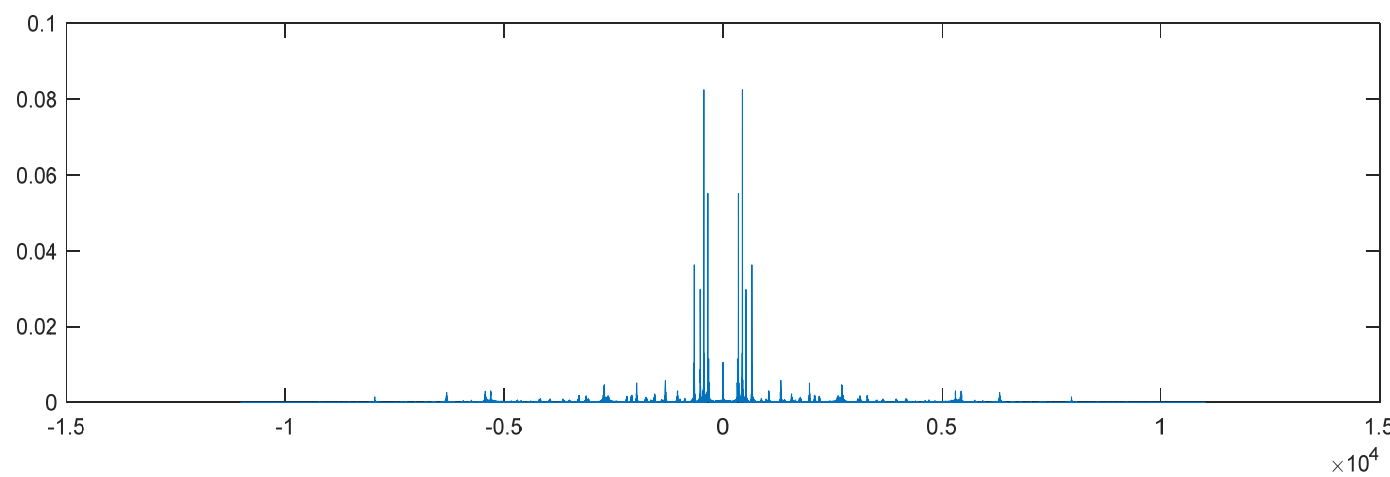
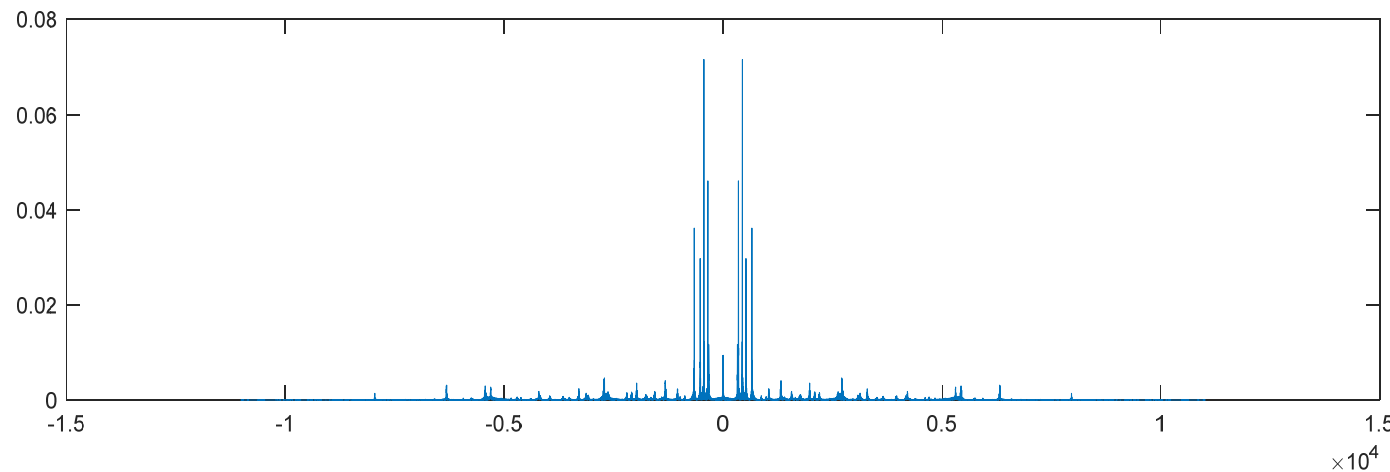
```
X=X.';

N=length(X); N1=round(N/2);

dt=1/fs;

X1=[X(N1+1:N),X(1:N1)]*dt; % shifting for spectrum
f=[[N1:N-1]-N,0:N1-1]/N*fs; % valid f
plot(f, abs(X1));
```

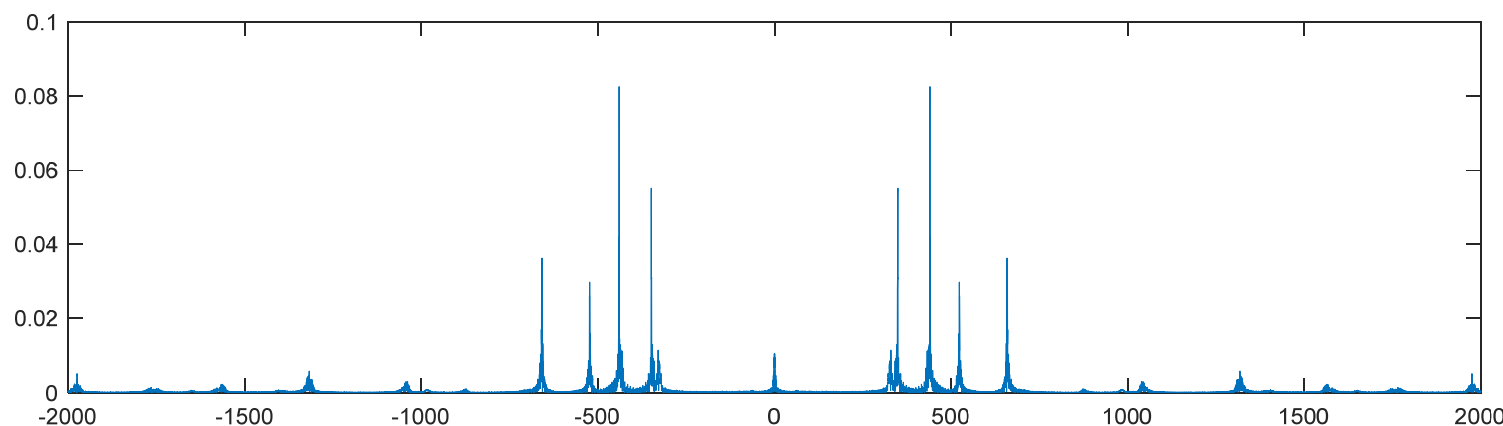
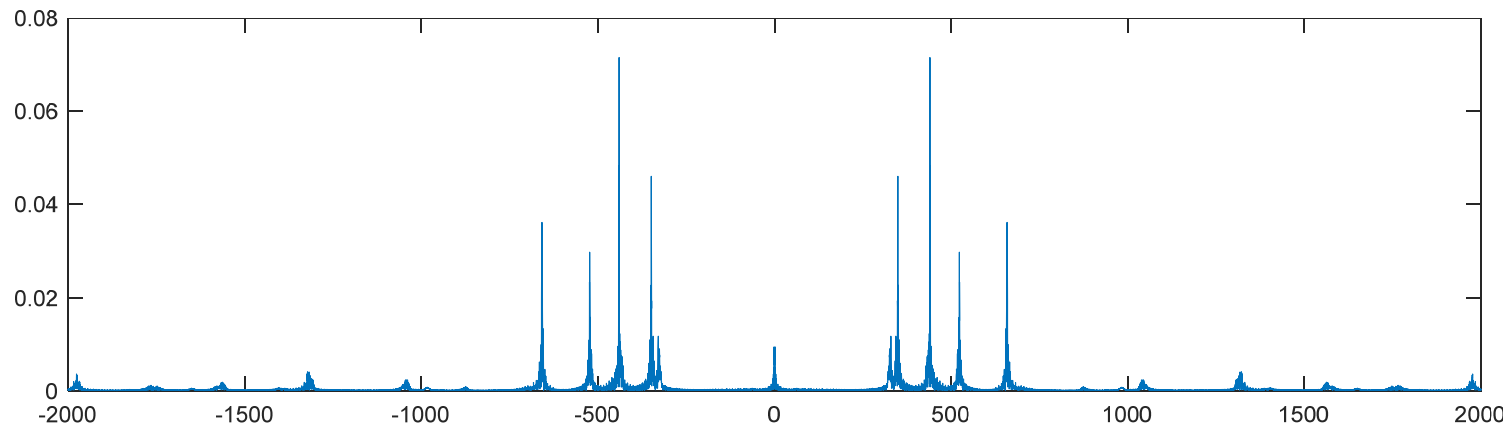
## Alarm01.wav 的頻譜



if  $x[n]$  is real  
then  $X(f) = X^*(-f)$

### Alarm01.wav 的頻譜

`xlim([-2000,2000])` % 只看其中 -2000Hz ~ 2000Hz 的部分



### C. 聲音的播放

(1) `sound(x)`: 將  $x$  以 8192Hz 的頻率播放

(2) `sound(x, fs)`: 將  $x$  以  $fs$  Hz 的頻率播放

Note: (1)~(3) 中  $x$  必需是1 個column (或2個 columns)，且  $x$  的值應該 介於 -1 和 +1 之間

(3) `soundsc(x, fs)`: 自動把  $x$  的值調到 -1 和 +1 之間 再播放

### D. 用 Matlab 製作 \*.wav 檔：`audiowrite`

`audiowrite(filename, x, fs)`

將數據  $x$  變成一個 \*.wav 檔，取樣速率為  $fs$  Hz

①  $x$  必需是1 個column (或2個 columns) ②  $x$  值應該 介於 -1 和 +1

## E. 用 Matlab 錄音的方法

錄音之前，要先將電腦接上麥克風，且確定電腦有音效卡  
(部分的 notebooks 不需裝麥克風即可錄音)

範例程式：

```
Sec = 3;  
Fs = 8000;  
recorder = audiorecorder(Fs, 16, 1);  
recordblocking(recorder, Sec);  
audioarray = getaudiodata(recorder);
```

執行以上的程式，即可錄音。

錄音的時間為三秒，sampling frequency 為 8000 Hz

錄音結果為 audioarray，是一個 column vector (如果是雙聲道，則是兩個 column vectors)

## 範例程式 (續) :

```
sound(audioarray, Fs); % 播放錄音的結果  
t = [0:length(audioarray)-1]./Fs;  
plot (t, audioarray'); % 將錄音的結果用圖畫出來  
xlabel('sec','FontSize',16);  
audiowrite('test.wav', audioarray, Fs) % 將錄音的結果存成 *.wav 檔
```

## 指令說明：

`recorder = audiorecorder(Fs, nb, nch);` (提供錄音相關的參數)

`Fs`: sampling frequency,

`nb`: using `nb` bits to record each data

`nch`: number of channels (1 or 2)

`recordblocking(recorder, Sec);` (錄音的指令)

`recorder`: the parameters obtained by the command “`audiorecorder`”

`Sec`: the time length for recording

`audioarray = getaudiodata(recorder);`

(將錄音的結果，變成 `audioarray` 這個 column vector，如果是雙聲道，則 `audioarray` 是兩個 column vectors)

以上這三個指令，要並用，才可以錄音

## F：影像檔的處理

Image 檔讀取: [imread](#)

Image 檔顯示: [imshow](#), [image](#), [imagesc](#)

Image 檔製作: [imwrite](#)

基本概念：灰階影像在 Matlab 當中是一個**矩陣**

彩色影像在 Matlab 當中是三個**矩陣**，分別代表 Red, Green, Blue

\*.bmp: 沒有經過任何壓縮處理的圖檔

\*.jpg: 有經過 JPEG 壓縮的圖檔

Video 檔讀取: [aviread](#)

## 範例一：(黑白影像)

217

```
im=double(imread('C:\Program Files\MATLAB\pic\Pepper.bmp'));
```

(注意，如果 Pepper.bmp 是個灰階圖，im 將是一個矩陣)

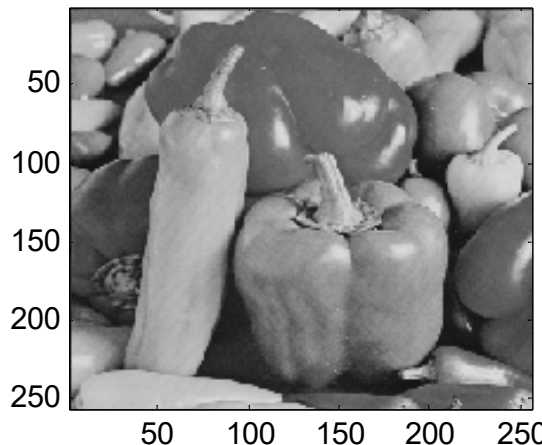
```
size(im)      (用 size 這個指令來看 im 這個矩陣的大小)
```

```
ans =
```

```
256 256
```

```
image(im);
```

```
colormap(gray(256))
```



## 範例二：(彩色影像)

```
im2=double(imread('C:\Program Files\MATLAB\pic\Pepper512c.bmp'));
```

```
size(im2)
```

```
ans =
```

```
512 512 3
```

(注意，由於這個圖檔是個彩色的，所以 im2 將由  
三個矩陣複合而成)

```
imshow(im); or image(im/255);
```

注意：要對影像做運算時，要先變成 double 的格式

否則電腦會預設影像為 integer 的格式，在做浮點運算時會產生誤差

例如，若要對影像做 2D Discrete Fourier transform

```
im=imread('C:\Program Files\MATLAB\pic\Pepper.bmp');  
im=double(im);  
Imf=fft2(im);
```

## 附錄七 聲音檔和影像檔的處理 (by Python)

可以先安裝幾個模組

```
pip install numpy  
pip install scipy  
pip install matplotlib # plot  
pip install pipwin  
pipwin install simpleaudio # vocal files  
pipwin install pyaudio
```

PS: 謝謝2021年擔任助教的蔡昌廷同學協助製作

## A. 讀音訊檔

要先import 相關模組： import scipy.io.wavfile as wavfile

讀取音檔：

```
fs, wave_data = wavfile.read('C:/WINDOWS/Media/Alarm01.wav')  
# fs: sampling frequency  
# If the audio file has one channel, then wave_data is a column vector  
# If the audio file has two channels, then wave_data has two column  
vectors  
num_frame = len(wave_data) # 音訊長度:  
n_channel = int(wave_data.size/ num_frame) # channels 數量
```

>>> fs

22050

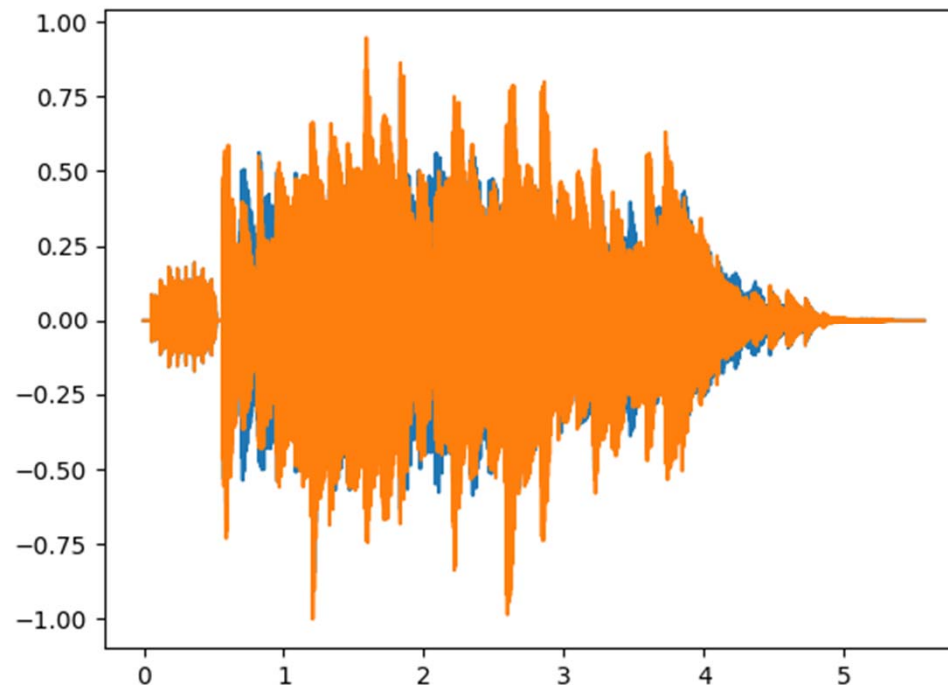
>>> num\_frame, n\_channel

(1150416, 2)

## 畫出音訊波形圖

要先import 相關模組： import matplotlib.pyplot as plt

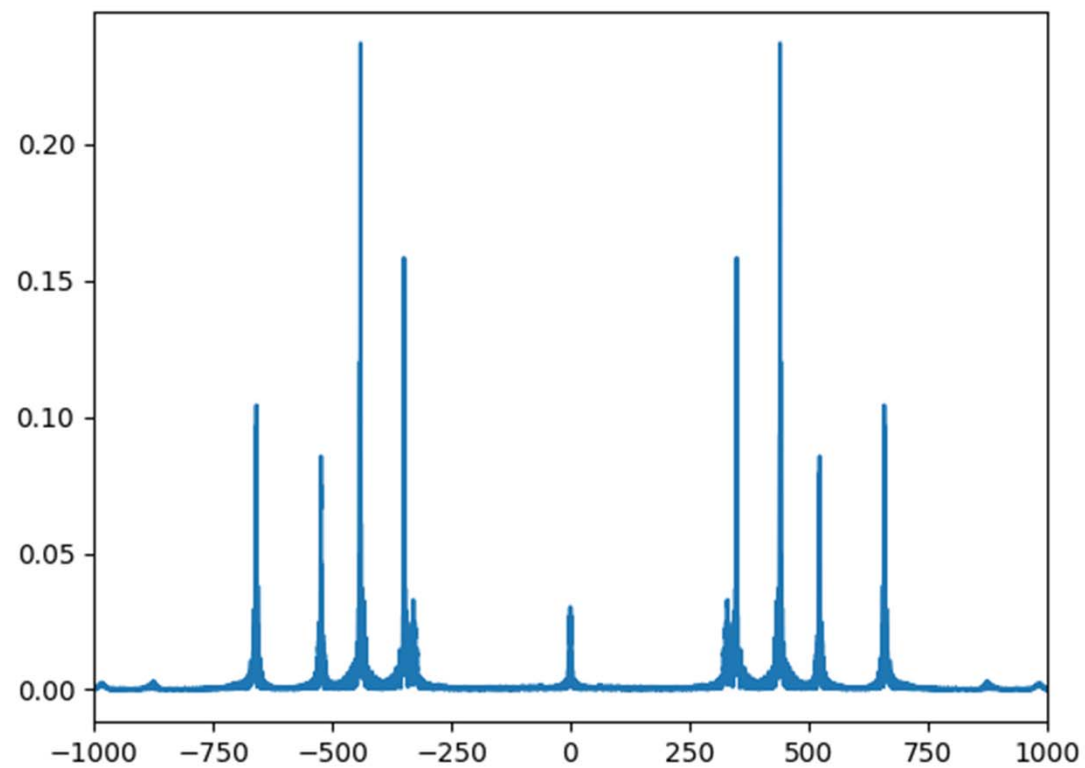
- time = np.arange(0, num\_frame)\*1/fs
- plt.plot(time, wave\_data)
- plt.show()



## B. 畫出頻譜

要先import 相關模組： from scipy.fftpack import fft

- `fft_data = abs(fft(wave_data[:,1]))/fs # only choose the 1st channel`  
# 注意要乘上 1/fs
- `n0=int(np.ceil(num_frame/2))`
- `fft_data1=np.concatenate([fft_data[n0:num_frame],fft_data[0:n0]])`  
# 將頻譜後面一半移到前面
- `freq=np.concatenate([range(n0-num_frame,0),range(0,n0)])*fs/num_frame`  
# 頻率軸跟著調整
- `plt.plot(freq,fft_data1)`
- `plt.xlim(-1000,1000) # 限制頻率的顯示範圍`
- `plt.show() # 如後圖`



## C. 播放聲音

要先import 相關模組： import simpleaudio as sa

- n\_bytes = 2 # using two bytes to record a data
- wave\_data = (2\*\*15-1)\* wave\_data  
# change the range to - $2^{15}$  ~  $2^{15}$
- wave\_data = wave\_data.astype(np.int16)
- play\_obj = sa.play\_buffer(wave\_data, n\_channel, n\_bytes, fs)
- play\_obj.wait\_done()

## D. 製作音檔

- `wavfile.write(file name, fs, data)`  
# fs means the sampling frequency  
# data should be a one-column or two column array

Example:

- `wavfile.write('Alarm01_test.wav', 22050, wave_data)`

## E. 錄音

要先import 相關模組： import pyaudio

範例程式

```
import pyaudio  
pa=pyaudio.PyAudio()  
fs = 44100  
chunk = 1024  
stream = pa.open(format=pyaudio.paInt16, channels=1,  
rate=fs, input=True, frames_per_buffer=chunk)
```

```
vocal=[]  
count=0
```

```
while count<200: #控制錄音時間  
    audio = stream.read(chunk) #一次性錄音取樣位元組大小  
    vocal.append(audio)  
    count +=1  
  
save_wave_file('testrecord.wav',vocal)  
stream.close()
```

### 參考

<https://codertw.com/%E7%A8%8B%E5%BC%8F%E8%AA%9E%E8%A8%80/491427/>

## F. 影像檔的處理

可以先安裝幾個模組

pip install numpy

pip install matplotlib

### 1. 讀取影像檔

```
import cv2  
image = cv2.imread('D:/Pic/peppers.bmp')
```

或

```
import matplotlib.pyplot as plt  
image = plt.imread('D:/Pic/peppers.bmp')
```

## 注意

(1) 寫入圖片若為彩色圖片，需要注意 `cv2.imread` 預設channels 順序為 BGR，

`image[:, :, 0] => B, image[:, :, 1] => G, image[:, :, 2] => R`

(2) 若使用 `plt.imread`，則 3 個 channels 的順序仍為 RGB

`image[:, :, 0] => R, image[:, :, 1] => G, image[:, :, 2] => B`

(3) 若讀檔讀不出來，有時要將路徑的 \ 改為 /

(4) `image.shape` 可以看出影像之大小

```
>>> image.shape
```

```
(512, 512, 3)
```

(5) 可讀 jpg, bmp, png 檔，但不能讀 gif 檔

## 2. 顯示影像

### Case 1: 圖的值格式為 int

以下的指令要配合使用 (彩色，灰階皆可)

```
cv2.imshow('test', image) # 以 test 為顯示的圖的名稱  
cv2.waitKey(0)  
cv2.destroyAllWindows()
```

亦可用以下之指令

```
import matplotlib.pyplot as plt  
plt.imshow(image)  
plt.show()
```

若一開始用 cv.imread 讀圖但要用 plt.imshow 來顯示彩色圖，要先將 BGR 的順序轉回 RGB，將第二行改為

```
plt.imshow(image[:, :, [2, 1, 0]])
```

## Case 2: 圖的值格式為 double (非整數)

此時，無論用 cv2.imshow 或是 plt.imshow，皆要先除以 255，再將圖顯示出來

Example 1:

```
image = cv2.imread('D:/Pic/peppers.bmp')
Image1 = image*0.5 + 127.5 # lighten the image
cv2.imshow('test', image) # int 不用除255
cv2.waitKey(0)
cv2.destroyAllWindows()
cv2.imshow('test', image1/255) # 非整數要除255
cv2.waitKey(0)
cv2.destroyAllWindows()
```



Example 2:

```
import matplotlib.pyplot as plt  
image = plt.imread('D:/Pic/peppers.bmp')  
image1 = image*0.5 + 127.5 # lighten the image  
plt.imshow(image) # int 不用除255  
plt.show()  
plt.imshow(image1/255) # 非整數要除255  
plt.show()
```



### 3. 寫入圖片檔

`cv2.imwrite('D:/Pic/jpg', image)`

或

`plt.imsave('D:/Pic/jpg', image)`

注意

(1) 寫入圖片若為彩色圖片，在使用 `cv2.imwrite` 時需要注意

`image[:, :, 0] => B, image[:, :, 1] => G, image[:, :, 2] => R`

若用 `plt.imsave` 則

`image[:, :, 0] => R, image[:, :, 1] => G, image[:, :, 2] => B`

(2) 若用 `cv2.imwrite('D:\Pic\jpg', image)` 可能無法存檔，要將 \ 改為 /

(3) 若是使用 `plt.imshow` 和 `plot.show()` 來顯示，可以用右下角的“save the figure”來存檔

## VI. Brief Introduction for Acoustics (聲學)

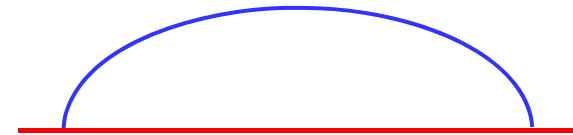
### [參考資料]

- 王小川，“語音訊號處理”，第三版，全華出版，台北，民國98年。
- T. F. Quatieri, *Discrete-Time Speech Signal Processing: Principle and Practice*, Pearson Education Taiwan, Taipei, 2005.
- L. R. Rabiner and R. W. Schafer, *Digital Processing of Speech Signals*, Prentice-Hall, 1978.
- P. Filippi, *Acoustics : Basic Physics, Theory, and Methods*, Academic Press, San Diego, 1999.

人耳可以辨識頻率：20Hz ~ 20000Hz

說話：150~2000Hz

$> 2000\text{Hz}$  倍頻  
子音  
氣音



電話系統頻域：小於 4000Hz

電腦音效卡取樣頻率：44100Hz (最新技術可達192K)

(一般用 22050Hz, 11025Hz 即可)

$> 20000\text{Hz}$ : 超音波 (ultrasound)

$< 20\text{Hz}$ : 次聲波 (infrasound)

music file

$$250 \text{ sec} \times 22050 \times 2 \times 8 / 8 \text{ bytes} \\ = 11 \text{ M}$$

MP3: 3M~4M

30%

波長較長 -> 傳播距離較遠，但容易散射

波長較短 -> 衰減較快，但傳播方向較接近直線

正比於  $e^{-kz}$      $k = \frac{2\pi}{\lambda}$

- 一般聲音檔格式：
  - (1) 取樣頻率 22050Hz
  - (2) 單聲道或雙聲道
  - (3) 每筆資料用8個bit來表示
- 電腦中沒有經過任何壓縮的聲音檔： \*.wav

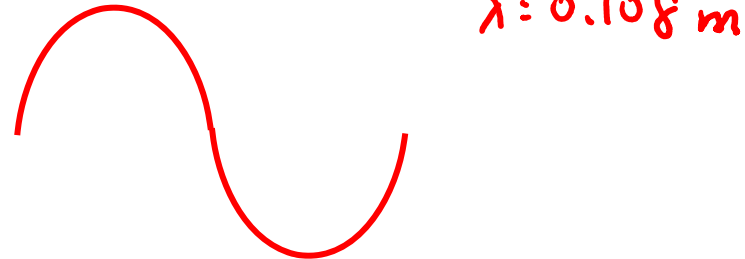
Q: What is the data size of a song without compression?

- 數位電話取樣頻率：8000Hz

聲音在空氣中傳播速度：每秒 340 公尺 ( $15^{\circ}\text{C}$  時)

所以，人類對3000Hz 左右頻率的聲音最敏感

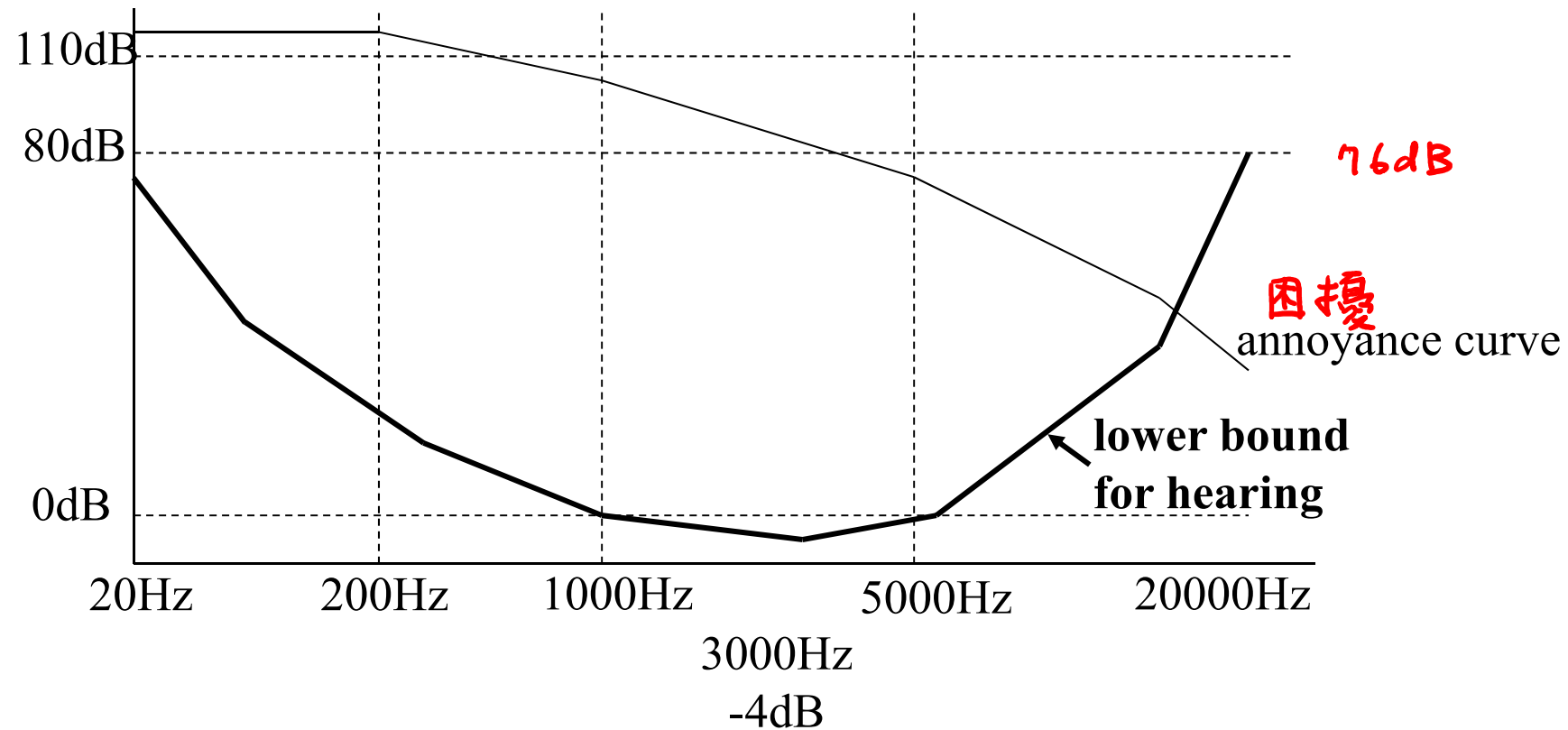
(一般人，耳翼到鼓膜之間的距離：2.7公分)



附：(1) 每增加  $1^{\circ}\text{C}$ ，聲音的速度增加 0.6 m/sec

(2) 聲音在水中的傳播速度是 1500 m/sec

在鋁棒中的傳播速度是 5000 m/sec



- dB: 分貝  $10\log_{10}(P/C)$ ，其中 P 為音強(正比於振幅的平方)；C 為 0dB 時的音強

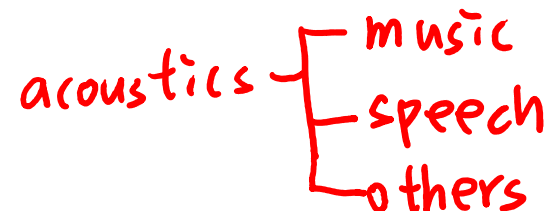
每增加 10dB，音強增加 10 倍，振幅增加  $10^{0.5}$  倍；

每增加 3dB，音強增加 2 倍，振幅增加  $2^{0.5}$  倍；

所幸，內耳的振動不會正比於聲壓

- 人對於頻率的分辨能力，是由頻率的「比」決定

對人類而言，300Hz 和 400 Hz 之間的差別，與 3000Hz 和 4000 Hz 之間的差別是相同的



## ◎ 6-B Music Signal

240

電子琴 Do 的頻率：  
低音 Do: 131.32 Hz  
中音 Do: 261.63 Hz  
高音 Do: 523.26 Hz  
更高音 Do: 1046.52 Hz, .....

音樂每增加八度音，頻率變為 2 倍

每一音階有 12 個半音

$$\begin{aligned} &\text{If Do: } 200 \text{ Hz} \\ &\text{then Re: } 200 \times 2^{\frac{1}{12}} \text{ Hz} \\ &\text{Mi: } 200 \times 2^{\frac{4}{12}} \text{ Hz} \end{aligned}$$

增加一個半音，頻率增加  $2^{1/12}$  倍 (1.0595 倍)

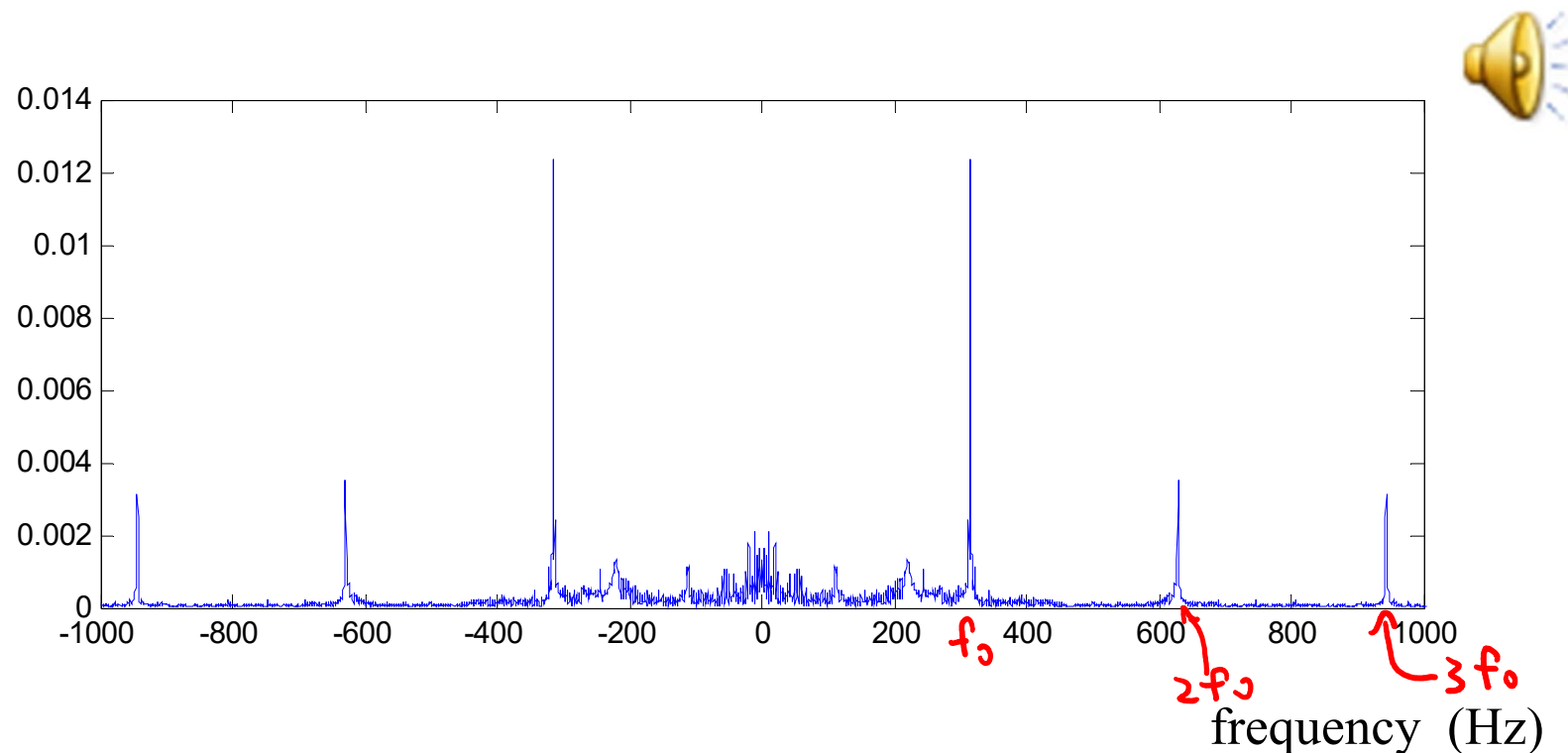
	Do	升Do	Re	升Re	Mi	Fa	升Fa	So	升So	La	升La	Si
Hz	262	277	294	311	330	349	370	392	415	440	466	494

$$\begin{aligned} &261.63 \times 2^{\frac{1}{12}} \\ &261.63 \times 2^{\frac{4}{12}} \end{aligned}$$

音樂通常會出現「和弦」(chord)的現象

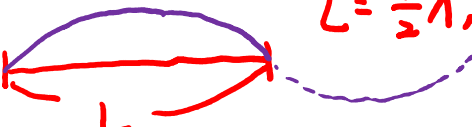
除了基頻  $f_0$  Hz 之外，也會出現  $2f_0$  Hz,  $3f_0$  Hz,  $4f_0$  Hz, ..... 的頻率

Mi:330



為什麼會產生和弦？

以共振的觀點：



$$L = \frac{1}{2}\lambda, \lambda = 2L$$

$$f = \frac{340}{2L} \quad \text{set} \quad f_0 = \frac{340}{2L}$$



$$L = \lambda$$

$$f = \frac{340}{L} = 2f_0$$



$$L = \frac{3}{2}\lambda, \lambda = \frac{2}{3}L$$

$$f = \frac{3}{2} \frac{340}{L} = 3f_0$$



$$L = 2\lambda, \lambda = \frac{L}{2}, f = 2 \frac{340}{L} = 4f_0$$

⋮

$$L = \frac{n}{2}\lambda, \lambda = \frac{2L}{n}, f = \frac{n}{2} \frac{340}{L} = nf_0$$

聲音信號是一個 periodic signal，但是不一定是 sinusoid

## ◎ 6-C 語音處理的工作

- (1) 語音編碼 (Speech Coding)
- (2) 語音合成 (Speech Synthesis)
- (3) 語音增強 (Speech Enhancement)

前三項目前基本上已經很成功

- (4) 語音辨認 (Speech Recognition)

音素 → 音節 → 詞 → 句 → 整段話

目前已有很高的辨識率

- (5) 說話人辨認 (Speaker Recognition)

- (6) 其他：語意，語言，情緒

## ◎ 6-D 語音的辨認

音素 → 音節 → 詞 → 句 → 整段話  
音素：相當於一個音標

(1) Spectrum Analysis

Time-Frequency Analysis

(2) Cepstrum

(3) Correlation for Words

ㄅ ㄆ ㄇ ㄈ ㄉ ㄋ ㄎ ㄊ ㄃ ㄕ ㄔ ㄗ ㄕ ㄔ  
ㄚ ㄛ ㄜ ㄝ ㄢ ㄤ ㄦ ㄩ ㄱ ㄲ ㄳ ㄵ ㄶ ㄷ ㄸ

母音：ㄚ ㄛ ㄜ ㄝ ㄢ ㄤ ㄦ ㄩ ㄱ ㄲ ㄳ ㄵ ㄶ ㄷ ㄸ

單母音：a, e, i, o, u ㄚ ㄛ ㄜ ㄝ ㄢ ㄤ ㄦ ㄩ ㄱ ㄲ ㄳ ㄵ ㄶ ㄷ ㄸ

雙母音：ㄞ ㄠ ㄾ ㄽ

母音 + 濁音：ㄻ ㄼ ㄽ

子音：ㄅ ㄆ ㄇ ㄈ ㄉ ㄋ ㄎ ㄊ ㄃ ㄕ ㄔ ㄗ ㄕ ㄔ

	ㄅ	ㄆ	ㄇ	ㄈ	ㄉ	ㄊ	ㄋ	ㄎ	ㄏ	ㄔ	ㄕ	ㄕ	ㄔ	
漢語拼音	b	p	m	f	d	t	n	l	g	k	h	j	q	x
通用拼音	b	p	m	f	d	t	n	l	g	k	h	j	c	s

	ㄓ	ㄔ	ㄕ	ㄖ	ㄗ	ㄘ	ㄙ	ㄚ	ㄛ	ㄜ	ㄝ	ㄢ	ㄤ	ㄩ
漢語拼音	zh	ch	sh	r	z	c	s	a	o	e	e	ai	ei	ao
通用拼音	jh	ch	sh	r	z	c	s	a	o	e	e	ai	ei	ao

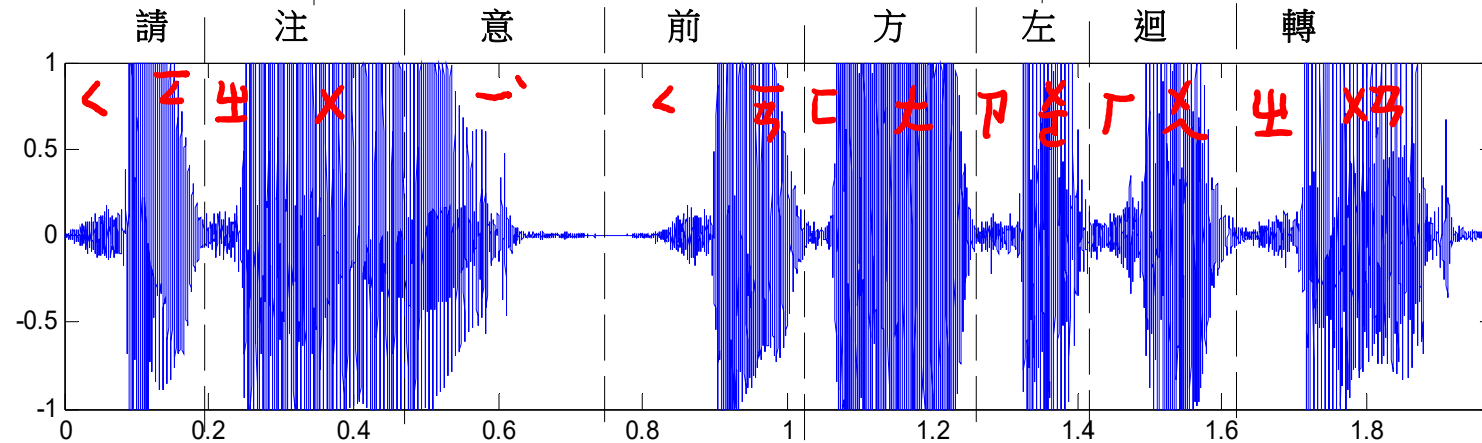
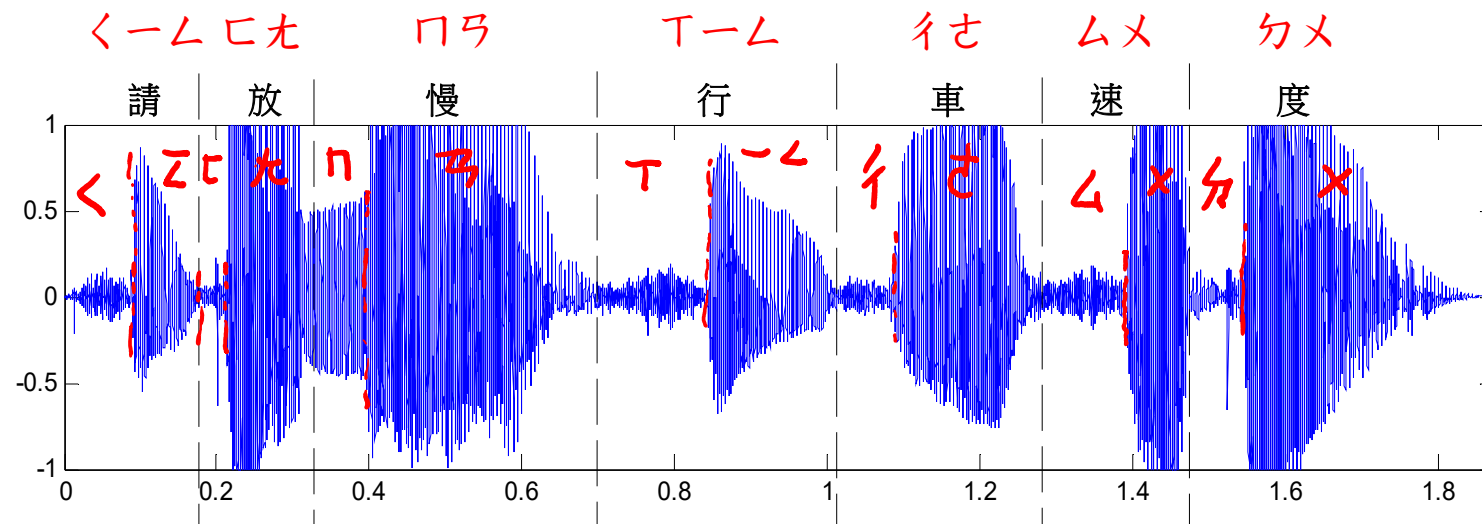
	ㄡ	ㄞ	ㄣ	ㄤ	ㄥ	ㄦ	ㄧ	ㄨ	ㄩ
漢語拼音	ou	an	en	ang	eng	er	i, y	u, w	yu, iu
通用拼音	ou	an	en	ang	eng	er	i, y	u, w	yu, iu

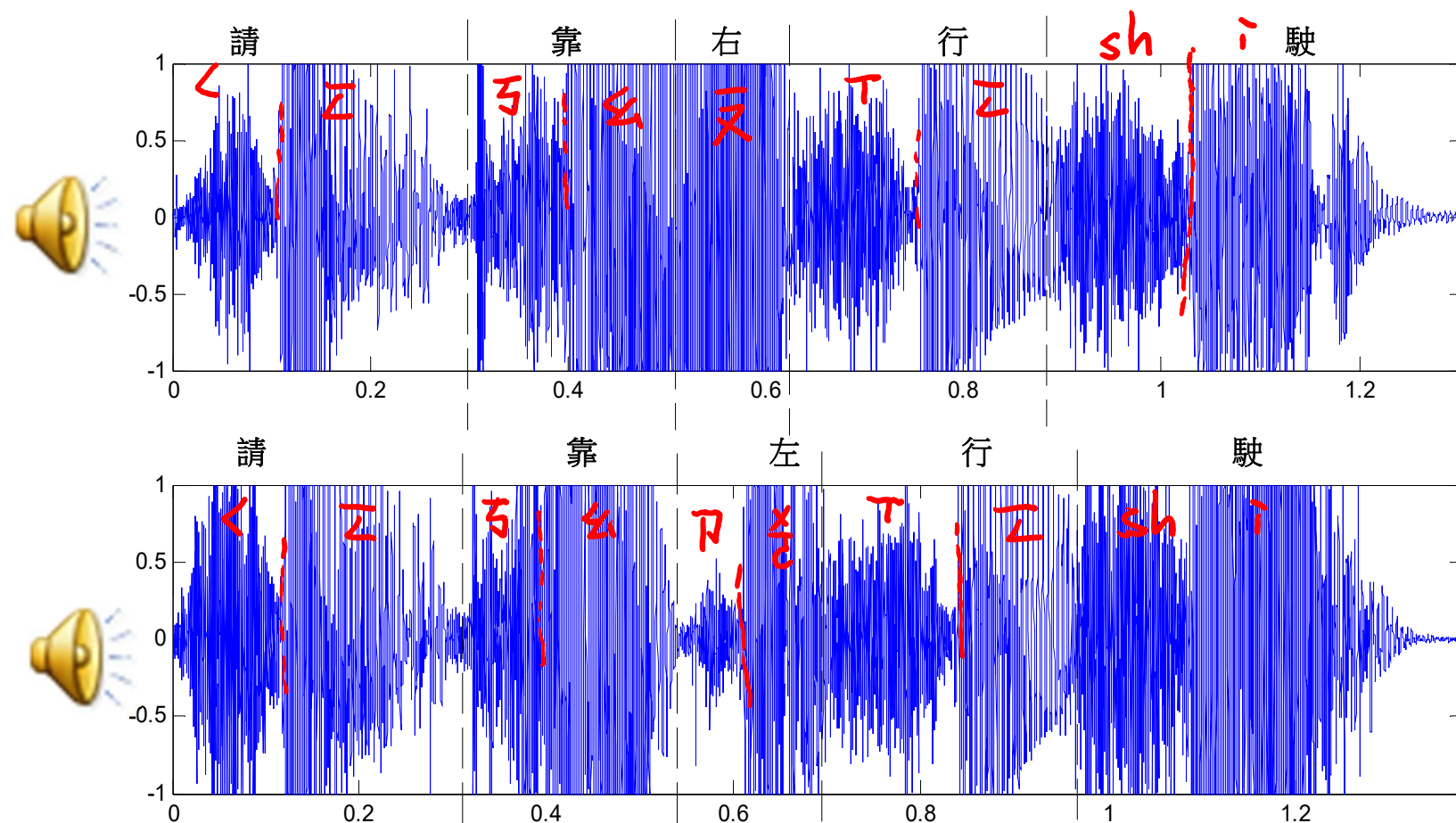
母音：依唇型而定

子音：在口腔，鼻腔中某些部位將氣流暫時堵住後放開

子音的能量小，頻率偏高，時間較短，出現在母音前

母音的能量大，頻率偏低，時間較長，出現在子音後或獨立出現





## 發音模型 (線性非時變近似)

$$x[n] = e_p[n] * g[n] * h[n] * r[n], \quad * \text{ means the convolution}$$

$$X(z) = E_p(z) G(z) H(z) R(z)$$

$r[n]$  : 嘴唇模型 ,  $h[n]$  : 口腔模型 ,  $g[n]$  : 聲帶模型

$e_p[n]$  : 輸入(假設為週期脈衝)

音量和  $e_p[n], g[n]$  有關

頻率和  $g[n]$  有關

子音和  $h[n], r[n]$  有關

母音和  $r[n]$  有關

*de → te → tea → tca*

- 分析一個聲音信號的頻譜：  
用 **Windowed Fourier Transform**  
或稱作 **Short-Time Fourier Transform**

- Fourier transform

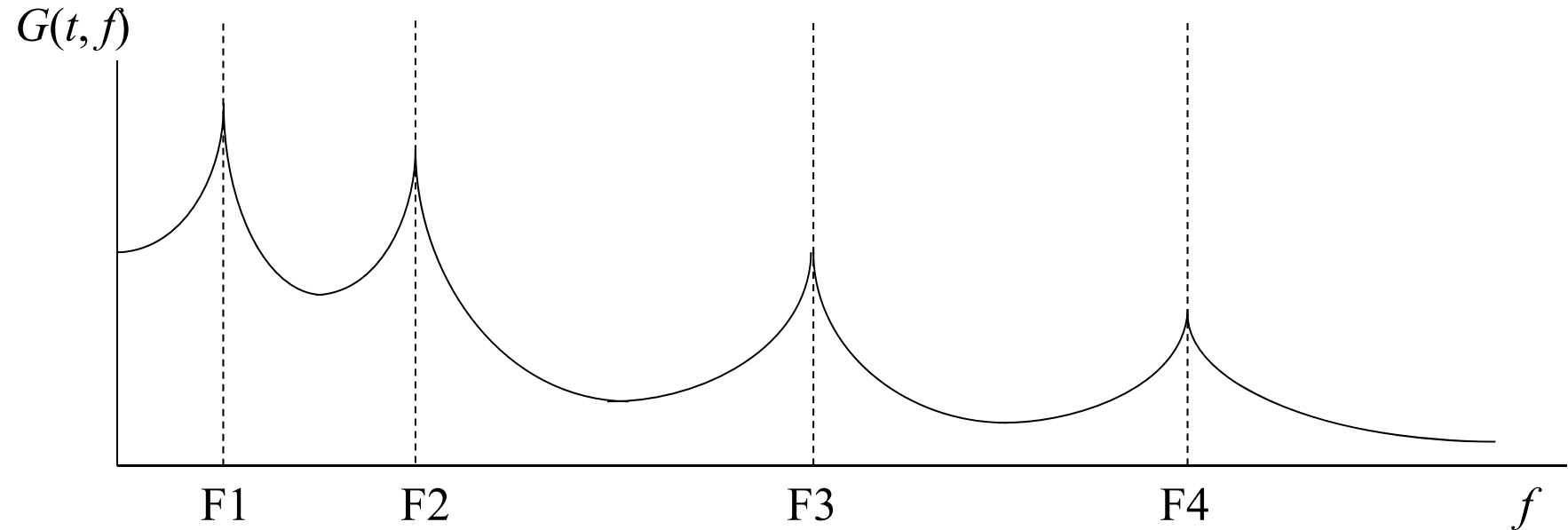
$$G(f) = \int_{-\infty}^{\infty} g(t) e^{-j2\pi f t} dt$$

Windowed Fourier transform

$$G(f) = \int_{t_0-B}^{t_0+B} g(t) e^{-j2\pi f t} dt \quad \text{強調 } t = t_0 \text{ 附近的區域}$$

或  $G(t, f) = \int_{-\infty}^{\infty} w(t - \tau) g(\tau) e^{-j2\pi f \tau} d\tau$

典型的聲音頻譜(不考慮倍頻)：



頻譜上，大部分的地方都不等於0。

出現幾個 peaks 值

可以依據 peaks 的位置來辨別母音

母音 peaks 處的頻率 (Hz) (不考慮倍頻)：

	男聲			女聲		
	F1	F2	F3	F1	F2	F3
ㄚ	900	1200	2900	1100	1350	3100
ㄛ	560	800	3000	730	1100	3200
ㄔ	560	1090	3000	790	1250	3100
ㄝ	500	2100	3100	600	2400	3300
ㄧ	310	2300	3300	360	3000	3500
ㄨ	370	540	3400	460	820	3700
ㄩ	300	2100	3400	350	2600	3200
ㄦ	580	1500	3200	760	1700	3200

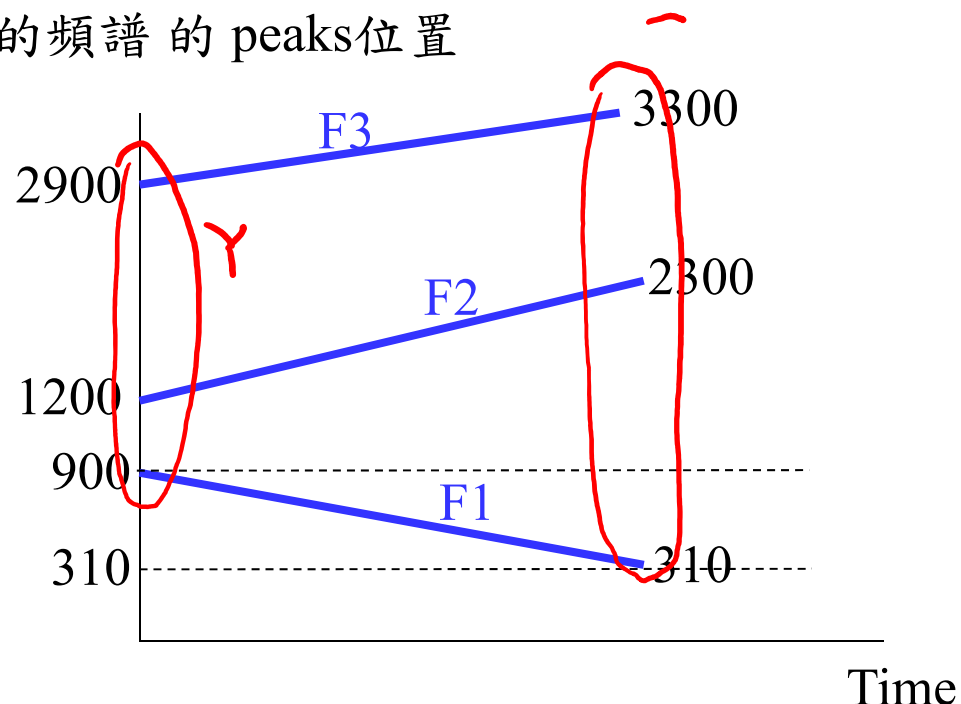
原則上：(1) 嘴唇的大小，決定F1  
 (2) 舌面的高低，決定 F2 – F1

[Ref] 王小川，“語音訊號處理”，第三版，全華出版，台北，民國98年

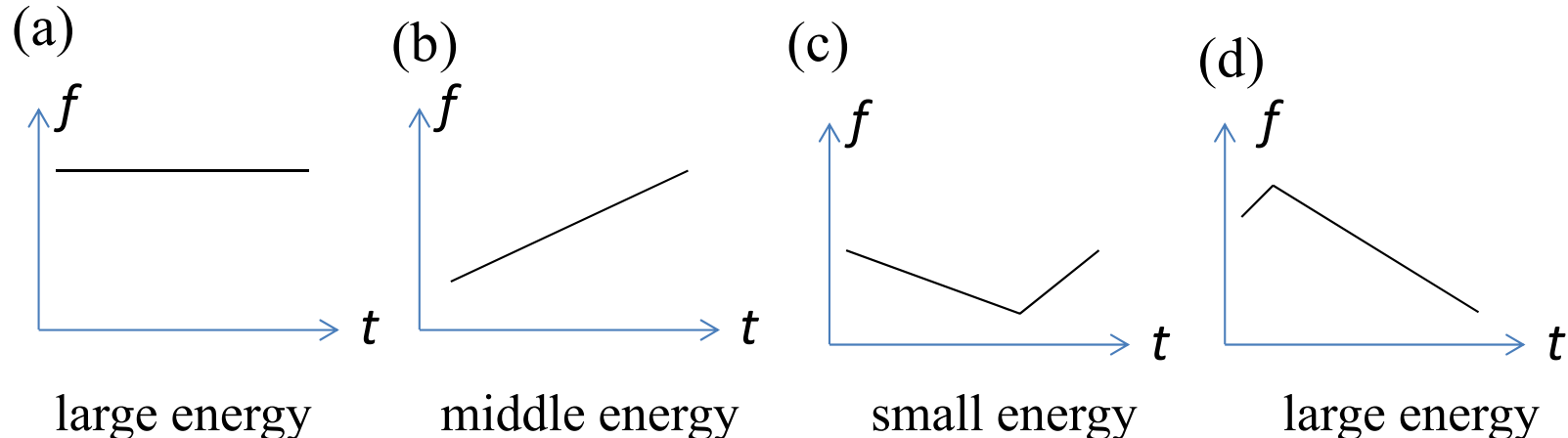
- 雙母音：  
ㄞ (ai) , ㄟ (ei) , ㄠ (ao) , ㄡ (ou)

頻譜隨時間而改變，一開始像第一個母音，後變得像另一個母音

ㄞ 的頻譜的 peaks 位置



## 6-F Tone Analysis



Typical relations between time and the instantaneous frequencies for (a) the 1<sup>st</sup> tone, (b) the 2<sup>nd</sup> tone, (c) the 3<sup>rd</sup> tone, and (d) the 4<sup>th</sup> tone in Chinese.

X. X. Chen, C. N. Cai, P. Guo, and Y. Sun, “A hidden Markov model applied to Chinese four-tone recognition,” *ICASSP*, vol. 12, pp. 797-800, 1987.

## ◎ 6-G 語意學的角色

以「語意學」或「機率」來補足語音辨識的不足

例如：經過判定，一個聲音可能是

ㄅ一 ㄔㄢ  
ㄅ一 ㄔㄢ

ㄅ一 ㄔㄢ  
ㄅ一 ㄔㄢ

這個聲音是「必然」的機率比較大。

ㄅㄛ ㄅㄛ  
ㄅㄛ ㄅㄛ

可能是「伯伯」，也可能是「婆婆」，看上下文

儲存詞庫

- 當前主流的語音辨識技術：

Mel-Frequency Cepstrum + Tone Analysis + 語意分析 + Machine Learning

## 附錄八：線性代數觀念補充

- (1)  $\mathbf{x}$  和  $\mathbf{y}$  兩個向量的內積可表示成  $\langle \mathbf{x} | \mathbf{y} \rangle$
- (2) 兩個互相正交(orthogonal)或垂直(perpendicular)的向量，其內積為0。可表示成： $\langle \mathbf{x} | \mathbf{y} \rangle = 0$  或  $\langle \mathbf{x}, \mathbf{y} \rangle = 0$
- (3) 令  $S$  為內積空間  $V$  的一組正交集合(set)且由非零向量構成，

$$\text{其中 } \mathbf{x} = \sum_{\mathbf{y} \in S} a_y \mathbf{y}, \quad a_y = \frac{\langle \mathbf{x} | \mathbf{y} \rangle}{\langle \mathbf{y} | \mathbf{y} \rangle}$$

如果  $S$  是由一組正規集合(orthonormal set)構成，那麼  $a_y = \langle \mathbf{x} | \mathbf{y} \rangle$

(4) Gram-Schmidt algorithm: 對於內積空間V的任意一組基底  $\langle \mathbf{x}_1, \mathbf{x}_2, \dots, \mathbf{x}_n \rangle$ ，我們可以透過這演算法找到一組正交基底  $\langle \mathbf{y}_1, \mathbf{y}_2, \dots, \mathbf{y}_n \rangle$

$$\mathbf{y}_j = \mathbf{x}_j - \sum_{i=1}^{j-1} \frac{\langle \mathbf{x}_j | \mathbf{y}_i \rangle}{\langle \mathbf{y}_i | \mathbf{y}_i \rangle} \mathbf{y}_i \quad \text{for each } j = 2, \dots, n$$

幾何意義: 把  $\mathbf{x}_j$  在  $\mathbf{y}_1, \mathbf{y}_2, \dots, \mathbf{y}_{j-1}$  上面的分向量全都從向量  $\mathbf{x}_j$  身上扣掉之後，剩下的向量  $\mathbf{y}_j$  自然就會跟  $\mathbf{y}_1, \mathbf{y}_2, \dots, \mathbf{y}_{j-1}$  垂直。

(5) Solving  $\mathbf{Ax} = \mathbf{b}$  but  $\text{size}(\mathbf{A}) = m \times n$  and  $\mathbf{b} \in F^m$ ,  $m > n$

Interpolation Theorem (插值定理)

1. For any inner-product function of  $F^m$ , there exists a vector  $\mathbf{z}$  that minimizes

$$\| \mathbf{Az} - \mathbf{b} \| \quad \text{where } \mathbf{z} \in F^n$$

2. If  $\text{rank}(\mathbf{A}) = n$ , then  $\mathbf{z} = (\mathbf{A}^H \mathbf{A})^{-1} \mathbf{A}^H \mathbf{b}$  is the unique minimizer of  $\| \mathbf{Az} - \mathbf{b} \|$

## 附錄九：PCA and SVD

PCA (principal component analysis) 是資料分析和影像處理當中常用到的數學方法，用來分析資料的「主要成分」或是影像中物體的「主軸」。

它其實和各位同學在高中和大一線代所學的回歸線 (regressive line) 很類似。回歸線是用一條一維 (one-dimensional) 的直線來近似二維 (two-dimensional) 的資料，而 PCA 則是用  $M$ -dimensional data 來近似  $N$ -dimensional data，其中  $M$  小於等於  $N$

在講解 PCA 之前，先介紹什麼是 SVD (singular value decomposition)

我們在大一的時候，都已經學到該如何對於  $N \times N$  的矩陣做 eigenvector-eigenvalue decomposition

那麼.....

當一個矩陣的 size 為  $M \times N$ ，且  $M$  和  $N$  不相等時，我們該如何對它來做 eigenvector-eigenvalue decomposition?

## SVD 的流程：

假設  $\mathbf{A}$  是一個  $M \times N$  的矩陣。

### (Step 1) 計算

$$\mathbf{B} = \mathbf{A}^H \mathbf{A} \quad \mathbf{C} = \mathbf{A} \mathbf{A}^H$$

注意， $\mathbf{B}$  是  $N \times N$  的矩陣，而  $\mathbf{C}$  是  $M \times M$  的矩陣。上標 H 代表 Hermitian matrix，相當於做共軛轉置。

### (Step 2) 接著，對 $\mathbf{B}$ 和 $\mathbf{C}$ 做 eigenvector-eigenvalue decomposition

$$\mathbf{B} = \mathbf{V} \mathbf{D} \mathbf{V}^{-1} \quad \mathbf{C} = \mathbf{U} \Lambda \mathbf{U}^{-1}$$

其中  $\mathbf{V}$  的每一個 column 是  $\mathbf{B}$  的 eigenvector (with normalization)， $\mathbf{U}$  的每一個 column 是  $\mathbf{C}$  的 eigenvector (with normalization)， $\Lambda$  和  $\mathbf{D}$  都是對角矩陣， $\Lambda$  和  $\mathbf{D}$  對角線上的 entries 是  $\mathbf{B}$  和  $\mathbf{C}$  的 eigenvalues。並假設 eigenvectors 根據 eigenvalues 的大小排序 (由大到小)

Note: 值得注意的是，由於  $\mathbf{B} = \mathbf{B}^H$  且  $\mathbf{C} = \mathbf{C}^H$ ，所以  $\mathbf{B}$  和  $\mathbf{C}$  的 eigenvectors 皆各自形成一個 orthogonal set。經過適當的 normalization 使得  $\mathbf{U}$  和  $\mathbf{V}$  的 column 自己和自己的內積為 1 之後， $\mathbf{U}^{-1} = \mathbf{U}^H$  和  $\mathbf{V}^{-1} = \mathbf{V}^H$  將滿足。因此， $\mathbf{B}$  和  $\mathbf{C}$  可以表示成

$$\mathbf{B} = \mathbf{V} \mathbf{D} \mathbf{V}^H \quad \mathbf{C} = \mathbf{U} \Lambda \mathbf{U}^H$$

注意， $\mathbf{V}$  和  $\mathbf{U}$  是 unitary matrix

(Step 3) 計算

$$\mathbf{S}_1 = \mathbf{U}^H \mathbf{A} \mathbf{V}$$

$\mathbf{S}_1$  是一個  $M \times N$  的矩陣，只有在  $\mathbf{S}_1[n, n]$  ( $n = 1, 2, \dots, \min(M, N)$ ) 的地方不為 0

(Step 4)  $\mathbf{S} = |\mathbf{S}_1|$  取絕對值

若  $\mathbf{S}_1[n, n] < 0$ ，改變  $\mathbf{U}$  第  $n$  個 column 的正負號

即完成 SVD

Note: Since  $\mathbf{V}$  is bound to be real,

$$\mathbf{A} = \mathbf{U} \mathbf{S} \mathbf{V}^H$$

$$\mathbf{A} = \mathbf{U} \mathbf{S} \mathbf{V}^T$$

$\mathbf{A}$  也可以表示為

$$\mathbf{A} = \lambda_1 \mathbf{u}_1 \mathbf{v}_1^T + \lambda_2 \mathbf{u}_2 \mathbf{v}_2^T + \dots + \lambda_k \mathbf{u}_k \mathbf{v}_k^T$$

其中  $\lambda_n = \mathbf{S}[n, n]$ ,  $k = \min(M, N)$

註：Matlab 有內建的 svd 指令可以計算 SVD

## 從 SVD 到 PCA (principal component analysis , 主成份分析)

$$\mathbf{A} = \lambda_1 \mathbf{u}_1 \mathbf{v}_1^T + \lambda_2 \mathbf{u}_2 \mathbf{v}_2^T + \dots + \lambda_k \mathbf{u}_k \mathbf{v}_k^T \quad k = \min(M, N)$$

若  $\lambda_1 \geq \lambda_2 \geq \lambda_3 \geq \dots \geq \lambda_k$

$\lambda_1 \mathbf{u}_1 \mathbf{v}_1^T$  是  $\mathbf{A}$  矩陣的最主要的成份

$\lambda_2 \mathbf{u}_2 \mathbf{v}_2^T$  是  $\mathbf{A}$  矩陣的第二主要的成份

⋮

⋮

$\lambda_k \mathbf{u}_k \mathbf{v}_k^T$  是  $\mathbf{A}$  矩陣的最不重要的成份

若為了壓縮或是去除雜訊的考量，可以選擇  $h < k$ ，使得  $\mathbf{A}$  可以近似成

$$\mathbf{A} \approx \lambda_1 \mathbf{u}_1 \mathbf{v}_1^T + \lambda_2 \mathbf{u}_2 \mathbf{v}_2^T + \dots + \lambda_h \mathbf{u}_h \mathbf{v}_h^T$$

## PCA 的流程

假設現在有  $M$  筆資料，每一筆資料 為  $N$  dimension

$$\mathbf{g}_1 = [f_{1,1} \ f_{1,2}, \dots, f_{1,N}]$$

$$\mathbf{g}_2 = [f_{2,1} \ f_{2,2}, \dots, f_{2,N}]$$

⋮

$$\mathbf{g}_M = [f_{M,1} \ f_{M,2}, \dots, f_{M,N}]$$

(Step 1) 扣掉平均值，形成新的 data

$$\mathbf{d}_m = [e_{m,1} \ e_{m,2} \ \dots \ e_{m,N}] \quad m = 1, 2, \dots, M$$

其中  $e_{m,n} = f_{m,n} - \tilde{f}_n$ ,  $\tilde{f}_n = \frac{1}{M} \sum_{m=1}^M f_{m,n}$

(Step 2) 形成  $M \times N$  的矩陣  $\mathbf{A}$

$\mathbf{A}$  的第  $m$  個 row 為  $d_m$ ,  $m = 1, 2, \dots, M$

(Step 3) 對 A 做 SVD 分解

$$\mathbf{A} = \mathbf{U}\mathbf{S}\mathbf{V}^H$$

$$= \lambda_1 \mathbf{u}_1 \mathbf{v}_1^T + \lambda_2 \mathbf{u}_2 \mathbf{v}_2^T + \dots + \lambda_k \mathbf{u}_k \mathbf{v}_k^T \quad k = \min(M, N)$$

$$\lambda_1 \geq \lambda_2 \geq \lambda_3 \geq \dots \geq \lambda_k$$

(Step 4) 將 A 近似成

$$\mathbf{A} \approx \lambda_1 \mathbf{u}_1 \mathbf{v}_1^T + \lambda_2 \mathbf{u}_2 \mathbf{v}_2^T + \dots + \lambda_h \mathbf{u}_h \mathbf{v}_h^T$$

則每一筆資料可以近似為

$$g_m \approx \lambda_1 u_1[m] \mathbf{v}_1^T + \lambda_2 u_2[m] \mathbf{v}_2^T + \dots + \lambda_h u_h[m] \mathbf{v}_h^T + [\tilde{f}_1 \quad \tilde{f}_2 \quad \dots \quad \tilde{f}_N]$$

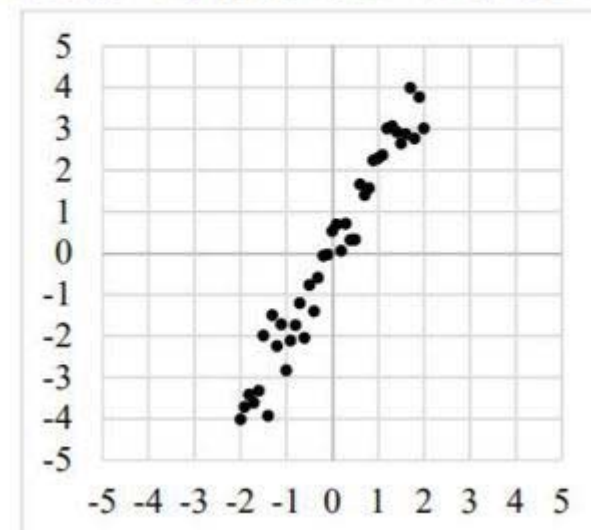
除了平均值  $[\tilde{f}_1 \quad \tilde{f}_2 \quad \dots \quad \tilde{f}_N]$  之外

$\mathbf{v}_1^T$  是資料的最主要成分， $\mathbf{v}_2^T$  是資料的次主要成分，  
 $\mathbf{v}_3^T$  是資料的第三主要成分，以此類推

## Example of PCA

3. 在處理二維數據時，有種方法是將數據垂直投影到某一直線，並以該直線為數線，進而了解投影點所成一維數據的變異。下圖的一組二維數據，試問投影到哪一選項的直線，所得之一維投影數據的變異數會是最小？

- (1)  $y = 2x$
- (2)  $y = -2x$
- (3)  $y = -x$
- (4)  $y = \frac{x}{2}$
- (5)  $y = -\frac{x}{2}$



From 2022 大考中心官網

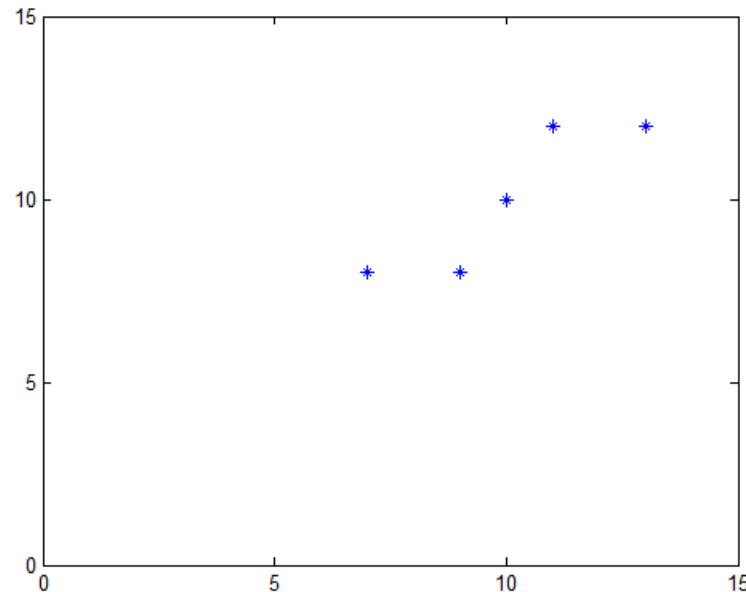
## Example of PCA

假設在一個二維的空間中，有5個點  
，座標分別是

$(7,8), (9,8), (10,10), (11,12), (13,12)$

$M = 5, N = 2$

試求這五個點的 PCA (即回歸線)



(Step 1) 將這五個座標點減去平均值  $(10, 10)$

$(-3, -2), (-1, -2), (0, 0), (1, 2), (3, 2)$

(Step 2) 形成  $5 \times 2$  的 matrix

$$\mathbf{A} = \begin{bmatrix} -3 & -2 \\ -1 & -2 \\ 0 & 0 \\ 1 & 2 \\ 3 & 2 \end{bmatrix}$$

(Step 3) 計算 SVD

$$\mathbf{A} = \mathbf{U}\mathbf{S}\mathbf{V}^H$$

$$\mathbf{U} = \begin{bmatrix} -0.6116 & 0.3549 & 0 & 0.0393 & 0.7060 \\ -0.3549 & -0.6116 & 0 & 0.7060 & -0.0393 \\ 0 & 0 & 1 & 0 & 0 \\ 0.3549 & 0.6116 & 0 & 0.7060 & -0.0393 \\ 0.6116 & -0.3549 & 0 & 0.0393 & 0.7060 \end{bmatrix} \quad \mathbf{S} = \begin{bmatrix} 5.8416 & 0 \\ 0 & 1.3695 \\ 0 & 0 \\ 0 & 0 \\ 0 & 0 \end{bmatrix}$$

$$\mathbf{V} = \begin{bmatrix} 0.7497 & -0.6618 \\ 0.6618 & 0.7497 \end{bmatrix}$$

主成分

$$\mathbf{A} = 5.8416 \begin{bmatrix} -0.6116 \\ -0.3549 \\ 0 \\ 0.3549 \\ 0.6116 \end{bmatrix} + 1.3695 \begin{bmatrix} 0.3549 \\ -0.6116 \\ 0 \\ 0.6116 \\ -0.3549 \end{bmatrix} + \underbrace{\begin{bmatrix} 0.7497 & 0.6618 \end{bmatrix}}_{\text{次要成分}} \begin{bmatrix} 0.7497 & 0.6618 \\ -0.6618 & 0.7497 \end{bmatrix}$$

(Step 4)

$$\mathbf{A} \cong 5.8416 \begin{bmatrix} -0.6116 \\ -0.3549 \\ 0 \\ 0.3549 \\ 0.6116 \end{bmatrix} [0.7497 \quad 0.6618]$$

$$\begin{bmatrix} 7 & 8 \\ 9 & 8 \\ 10 & 10 \\ 11 & 12 \\ 13 & 12 \end{bmatrix} \cong [10 \quad 10] + 5.8416 \begin{bmatrix} -0.6116 \\ -0.3549 \\ 0 \\ 0.3549 \\ 0.6116 \end{bmatrix} [0.7497 \quad 0.6618]$$

得到主成分  $[0.7497 \quad 0.6618]$ 

這五個座標點可以近似成

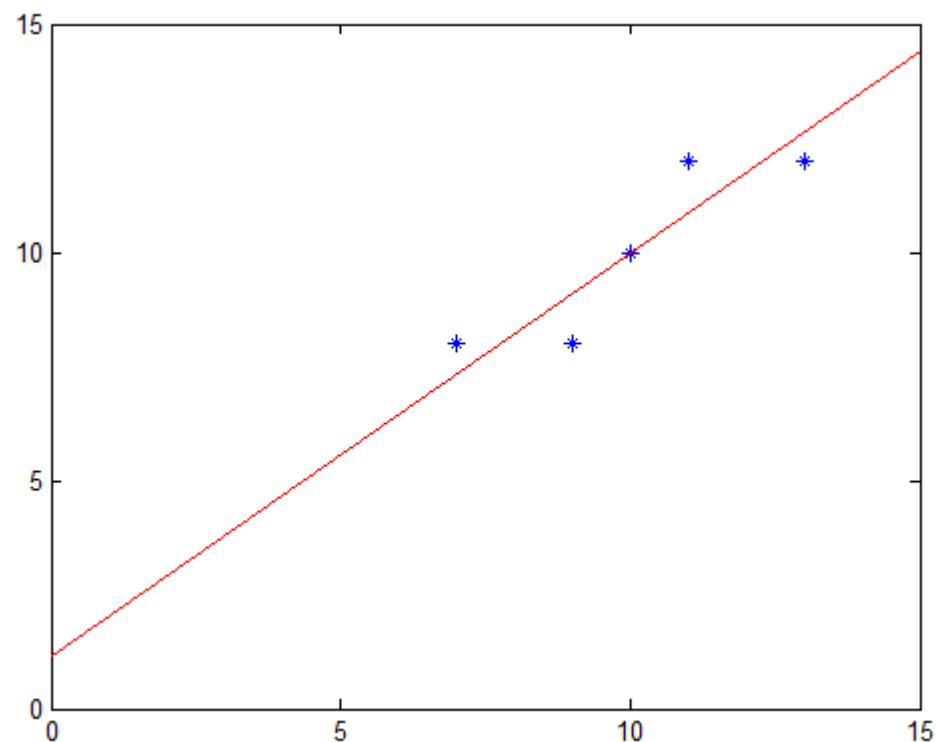
$$5.8416 \cdot u_m [0.7497 \quad 0.6618] + [10 \quad 10] \quad m = 1, 2, \dots, 5$$

$$u_1 = -0.6116, \quad u_2 = -0.3549, \quad u_3 = 0, \quad u_4 = 0.3549, \quad u_5 = 0.6116$$

回歸線

$$[10 \ 10] + c[0.7497 \ 0.6618]$$

$$c \in (-\infty, \infty)$$



Using the PCA method can obtain the best approximation result.

(Proof):

Without the loss of generalization, we discuss the problem in the 2D case (i.e.,  $N = 2$ ). Suppose that the location of the  $M$  points are

$$(x_1, y_1), (x_2, y_2), \dots, (x_M, y_M)$$

We want to find a line passing through the origin such that the projection of  $(x_1, y_1), (x_2, y_2), \dots, (x_M, y_M)$  on the line has the maximal sum of the square norm. That is, to [find a unit vector](#)

$$\mathbf{e} = (e_1, e_2) \quad \text{where} \quad \|\mathbf{e}\| = 1 \quad (\text{The line passing through the origin is } \alpha\mathbf{e}.) \quad (1)$$

such that

$$\|\langle (x_1, y_1), \mathbf{e} \rangle \mathbf{e}\|^2 + \|\langle (x_2, y_2), \mathbf{e} \rangle \mathbf{e}\|^2 + \dots + \|\langle (x_M, y_M), \mathbf{e} \rangle \mathbf{e}\|^2 \quad (2)$$

[is maximal](#). Note that

$$\begin{aligned} & \|\langle (x_1, y_1), \mathbf{e} \rangle \mathbf{e}\|^2 + \|\langle (x_2, y_2), \mathbf{e} \rangle \mathbf{e}\|^2 + \dots + \|\langle (x_M, y_M), \mathbf{e} \rangle \mathbf{e}\|^2 \\ &= (\langle (x_1, y_1), \mathbf{e} \rangle)^2 + (\langle (x_2, y_2), \mathbf{e} \rangle)^2 + \dots + (\langle (x_M, y_M), \mathbf{e} \rangle)^2 \end{aligned} \quad (3)$$

Suppose that for the matrix

$$\mathbf{A} = \begin{bmatrix} x_1 & y_1 \\ x_2 & y_2 \\ \vdots & \vdots \\ x_M & y_M \end{bmatrix}$$

we have performed the SVD for  $\mathbf{A}$  and decompose it into

$$\begin{aligned} \mathbf{A} &= \mathbf{U}\mathbf{S}\mathbf{V}^T \\ \mathbf{U} &= [\mathbf{u}_1 \quad \mathbf{u}_2 \quad \cdots \quad \mathbf{u}_M] \quad \mathbf{V} = [\mathbf{v}_1 \quad \mathbf{v}_2] \quad \mathbf{S} = \begin{bmatrix} \lambda_1 & 0 \\ 0 & \lambda_2 \\ \vdots & \vdots \\ 0 & 0 \end{bmatrix} \\ \mathbf{A} &= \lambda_1 \mathbf{u}_1 \mathbf{v}_1^T + \lambda_2 \mathbf{u}_2 \mathbf{v}_2^T \end{aligned} \tag{4}$$

$$\text{If } \mathbf{v}_1 = \begin{bmatrix} v_{1,1} \\ v_{1,2} \end{bmatrix}, \quad \mathbf{v}_2 = \begin{bmatrix} v_{2,1} \\ v_{2,2} \end{bmatrix} \text{ then } \mathbf{v}_1 \text{ and } \mathbf{v}_2 \text{ are orthonormal } \mathbf{v}_1^T \mathbf{v}_2 = \mathbf{v}_2^T \mathbf{v}_1 = 0 \\ \mathbf{v}_1^T \mathbf{v}_1 = \mathbf{v}_2^T \mathbf{v}_2 = 1$$

Therefore,

$$\mathbf{A}\mathbf{v}_1 = \lambda_1 \mathbf{u}_1 \mathbf{v}_1^H \mathbf{v}_1 + \lambda_2 \mathbf{u}_2 \mathbf{v}_2^H \mathbf{v}_1 = \lambda_1 \mathbf{u}_1 \quad \mathbf{A}\mathbf{v}_2 = \lambda_1 \mathbf{u}_2 \tag{5}$$

Since  $\mathbf{v}_1$  and  $\mathbf{v}_2$  are orthonormal, any two-entry vector  $\mathbf{e}$  can be expressed as

$$\mathbf{e} = c_1 \mathbf{v}_1^T + c_2 \mathbf{v}_2^T \quad \text{where} \quad c_1^2 + c_2^2 = 1$$

Therefore, from (3),

$$\begin{aligned} & \| \langle (x_1, y_1), \mathbf{e} \rangle \mathbf{e} \|^2 + \| \langle (x_2, y_2), \mathbf{e} \rangle \mathbf{e} \|^2 + \dots + \| \langle (x_M, y_M), \mathbf{e} \rangle \mathbf{e} \|^2 \\ &= \left( \langle (x_1, y_1), c_1 \mathbf{v}_1^T + c_2 \mathbf{v}_2^T \rangle \right)^2 + \left( \langle (x_2, y_2), c_1 \mathbf{v}_1^T + c_2 \mathbf{v}_2^T \rangle \right)^2 + \dots + \left( \langle (x_M, y_M), c_1 \mathbf{v}_1^T + c_2 \mathbf{v}_2^T \rangle \right)^2 \end{aligned} \quad (6)$$

Moreover, from (5),

$$\left( \langle (x_m, y_m), c_1 \mathbf{v}_1^T + c_2 \mathbf{v}_2^T \rangle \right)^2 = (\lambda_1 c_1 u_{1,m} + \lambda_2 c_2 u_{2,m})^2 \quad (7)$$

where  $u_{1,m}$  and  $u_{2,m}$  are the  $m^{\text{th}}$  entries of  $\mathbf{u}_1$  and  $\mathbf{u}_2$ , respectively. Therefore,

$$\begin{aligned} & \| \langle (x_1, y_1), \mathbf{e} \rangle \mathbf{e} \|^2 + \| \langle (x_2, y_2), \mathbf{e} \rangle \mathbf{e} \|^2 + \dots + \| \langle (x_M, y_M), \mathbf{e} \rangle \mathbf{e} \|^2 \\ &= \sum_{m=1}^M (c_1 \lambda_1 u_{1,m} + c_2 \lambda_2 u_{2,m})^2 = c_1^2 \lambda_1^2 \sum_{m=1}^M u_{1,m}^2 + c_2^2 \lambda_2^2 \sum_{m=1}^M u_{2,m}^2 + 2c_1 \lambda_1 c_2 \lambda_2 \sum_{m=1}^M u_{1,m} u_{2,m} \end{aligned}$$

Since  $\mathbf{u}_1$  and  $\mathbf{u}_2$  are orthonormal,

$$\sum_{m=1}^M u_{1,m}^2 = \sum_{m=1}^M u_{2,m}^2 = 1, \quad \sum_{m=1}^M u_{1,m} u_{2,m} = 0$$

we have

$$\|\langle (x_1, y_1), \mathbf{e} \rangle \mathbf{e}\|^2 + \|\langle (x_2, y_2), \mathbf{e} \rangle \mathbf{e}\|^2 + \dots + \|\langle (x_M, y_M), \mathbf{e} \rangle \mathbf{e}\|^2 = c_1^2 \lambda_1^2 + c_2^2 \lambda_2^2$$

Since  $c_1^2 + c_2^2 = 1$  and  $\lambda_1 > \lambda_2$ , the best way to assign  $c_1$  and  $c_2$  is

$$c_1 = 1, c_2 = 0$$

That is, we can choose

$$\mathbf{e} = \mathbf{v}_1^T$$

and the projection of  $(x_m, y_m)$  on  $\mathbf{e}$  is  $\lambda_1 u_{1,m} \mathbf{v}_1^T$

$$\mathbf{A} = \begin{bmatrix} x_1 & y_1 \\ x_2 & y_2 \\ \vdots & \vdots \\ x_M & y_M \end{bmatrix} \cong \begin{bmatrix} \lambda_1 u_{1,1} \mathbf{v}_1^T \\ \lambda_1 u_{1,2} \mathbf{v}_1^T \\ \vdots \\ \lambda_1 u_{1,M} \mathbf{v}_1^T \end{bmatrix} = \lambda_1 \mathbf{u}_1 \mathbf{v}_1^T$$